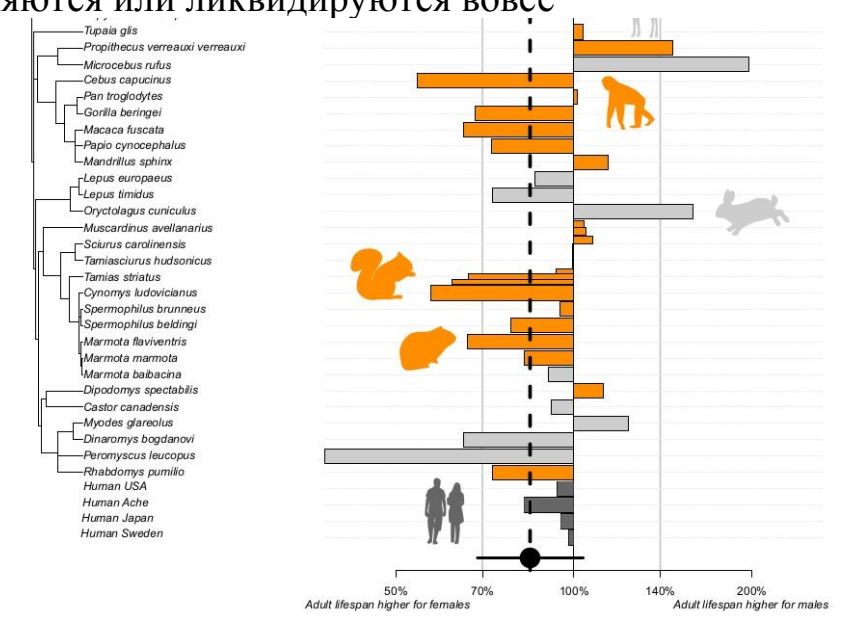
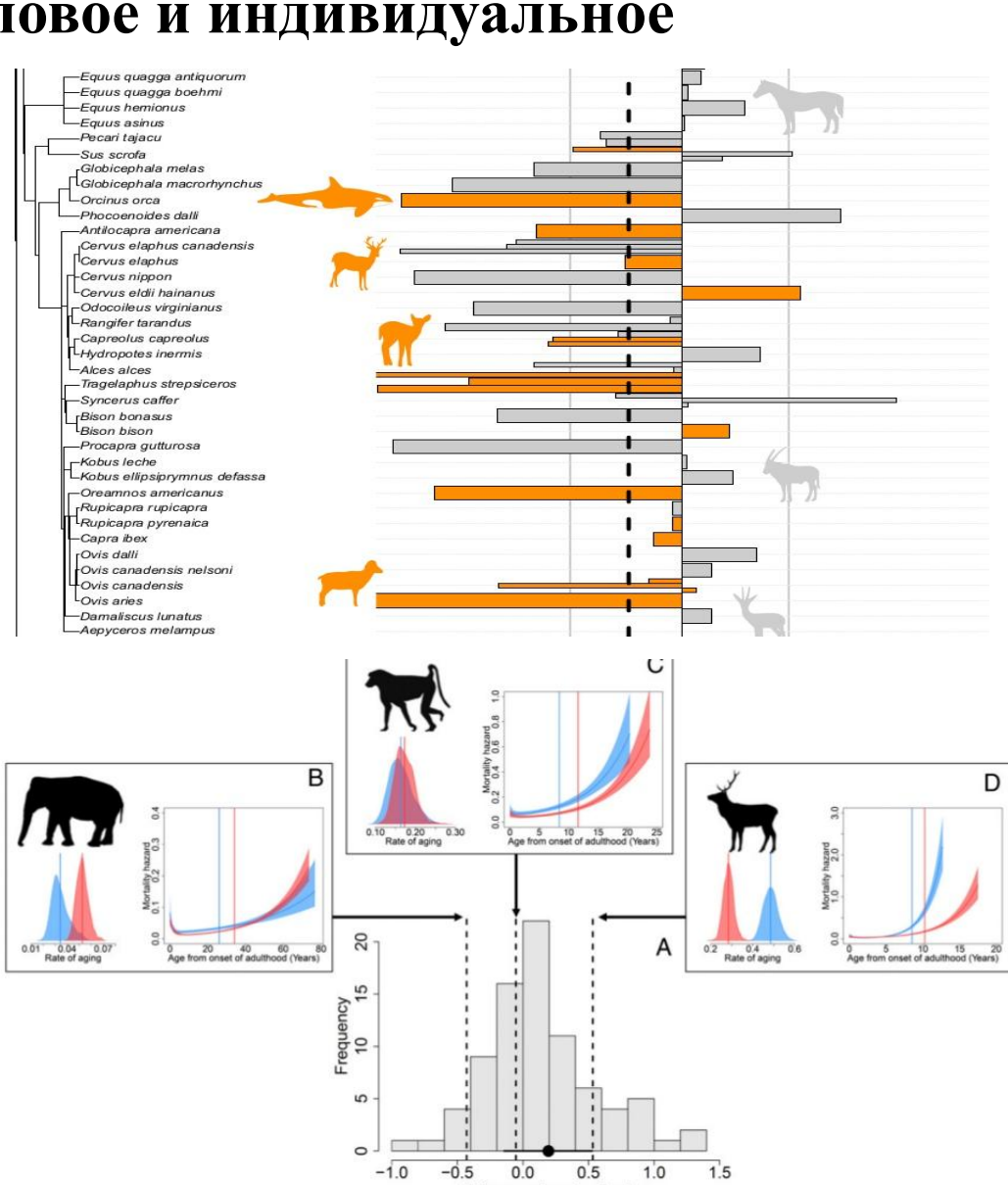
# Межполовые различия *Homo sapiens*, биологическое и социальное, межгрупповое и индивидуальное

- межполовые различия: естественные (природные, биологические) или «делаемые»? Второе, и делаемые социальным влиянием, а «биология» подстраивается по него.
- «мужское» и «женское»: как соотносятся межгруппові различия и индивидуальная разнокачественность? Второе много значительней, но неравенство эффективн мешает этому.
- траектория жизни мужчины и женщины в обществе: важней индивидуальные качества или культивируемые стереотипы? Когда вторые есть, они пересиливают, но как только становятся явными и обсуждаются, легко меняются или ликвидируются вовсе



Sex differences in adult lifespan and aging rates of mortality across wild mammals

Fig. 2. Frequency distribution of the magnitude of sex differences in rate of aging across mammals in the wild (A). The black dot corresponds to the overall effect for nonhuman mammals and is associated with its 95% credibility interval. Patterns of age-specific changes in mortality rate for three mammalian populations are displayed. For each population the mortality curve with the vertical line representing the median adult lifespan and the posterior distribution of the aging rate b, are given in red for females and in blue for males. The mortality hazard corresponds to the instantaneous rate of mortality. In the three populations, adult females live on average longer than adult males. However, (B) in Asian elephant, Elephas maximus (Myanmar population), females have a higher aging rate; (C) in yellow baboon, Papio cynocephalus (Amboseli National Park population), no difference in aging rates is observed; and (D) in red deer, Cervus elaphus (Isle of Rum population), males show a higher rate of aging than females.



Jean-François Lemaître<sup>8,12</sup> , Victor Ronget<sup>8,1</sup>, Morgane Tidière<sup>8</sup> , Dominique Allainé<sup>9</sup>, Vérane Berger<sup>b</sup>, Aurélie Cohas<sup>3</sup>, Fernando Colchero<sup>6,6</sup>, Dalia A. Condé<sup>6,6</sup>, Michael Garratt<sup>1</sup>, András Liker<sup>9</sup>, Gabriel A. B. Marais<sup>8</sup>, Alexander Scheurelrin<sup>9</sup>, Tamás Székely<sup>1</sup>, and Bean-Michael Gaillarde<sup>1,6</sup>

### Здесь нельзя пуать 3 разных понятия:

продолжительность жизни, скорость старения (скажем, у кабана равная у самцов и самок, хотя смертность самцов во взрослом состоянии гораздо выше) и различия в смертности разных полов, связанные с различиями в условиях жизни, в т.ч. с разной стратегией поведения в половом отборе

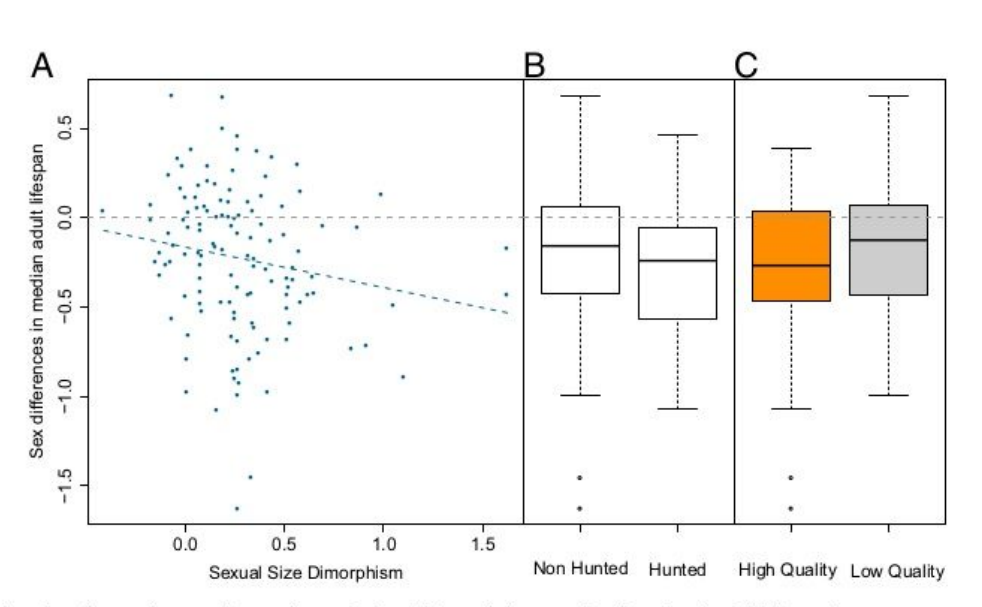
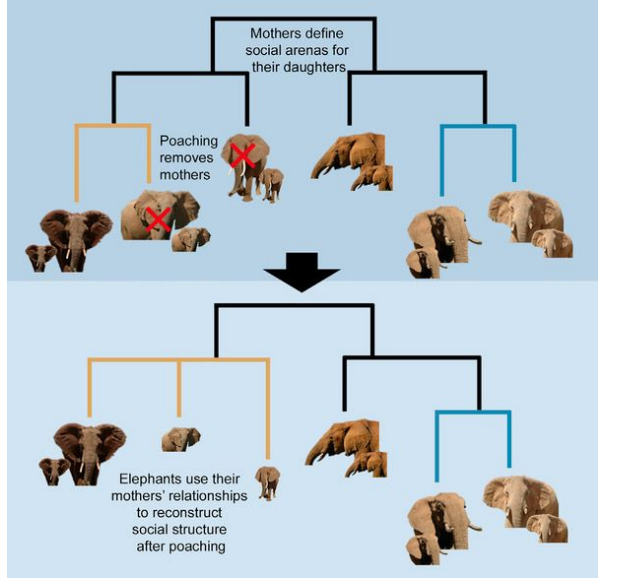


Fig. 3. Effect of SSD (A), hunting (hunted vs. nonhunted populations) (B), and data quality (longitudinal-high quality vs. transversal-low differences in median adult lifespan across mammals. The horizontal gray and dash line corresponds to the absence of sex difference lifespan.





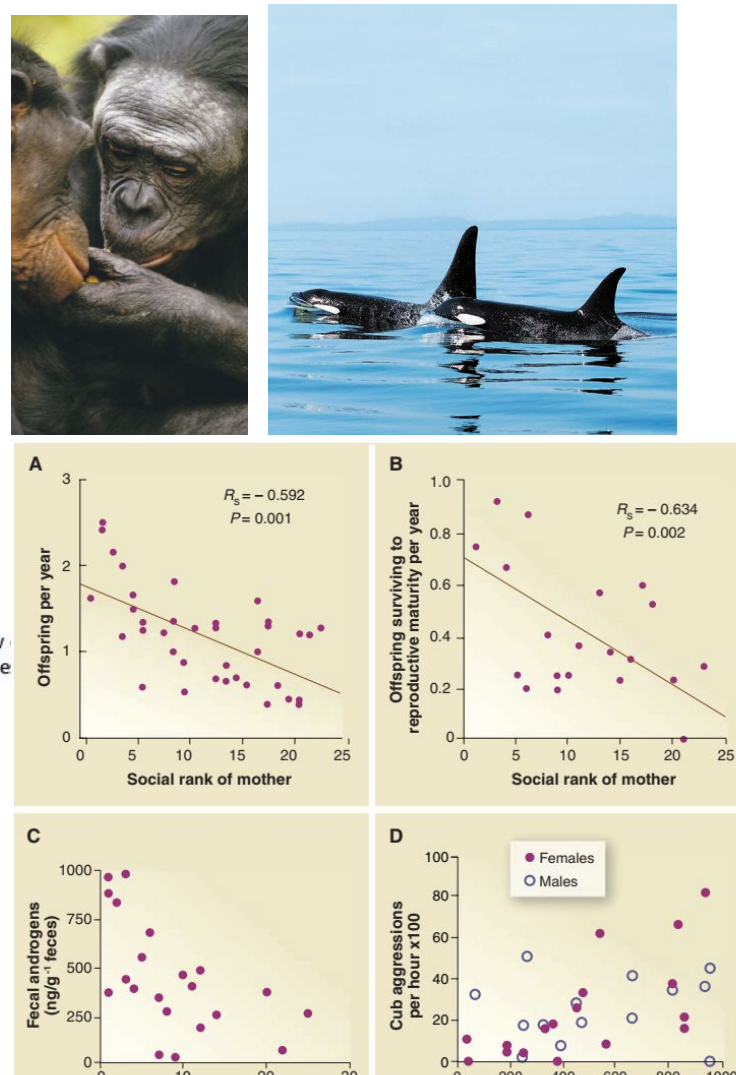


Fig. 2. Correlates of female rank in spotted hyenas. (A) Total number of offspring produced per year by the mother shown as a function of the social rank of the mother. (B) Number of offspring surviving to reproductive maturity produced per year as a function of the social rank of the mother. (C) The relationship between fecal androgens and social rank in female spotted hyenas during the second half of gestation. (D) The relationship between maternal androgens measured during the second half of gestation and rates of aggression in hyena cubs aged 2 to 6 months. [(A) and (B) reproduced from (39) by permission of the Society for Reproduction and Fertility (2007); (C) and (D) reproduced from (43) by permission]

Maternal fecal androgens (ng/g)



## Nurture affects gender differences in spatial abilities

Moshe Hoffman<sup>a,1</sup>, Uri Gneezy<sup>a</sup>, and John A. List<sup>b</sup>

\*Rady School of Management, University of California at San Diego, La Jolla, CA 92093; and \*Department of Economics, University of Chicago, Chicago, IL 60637

Edited\* by Marc Nerlove, University of Maryland, College Park, MD, and approved July 14, 2011 (received for review November 24, 2010)

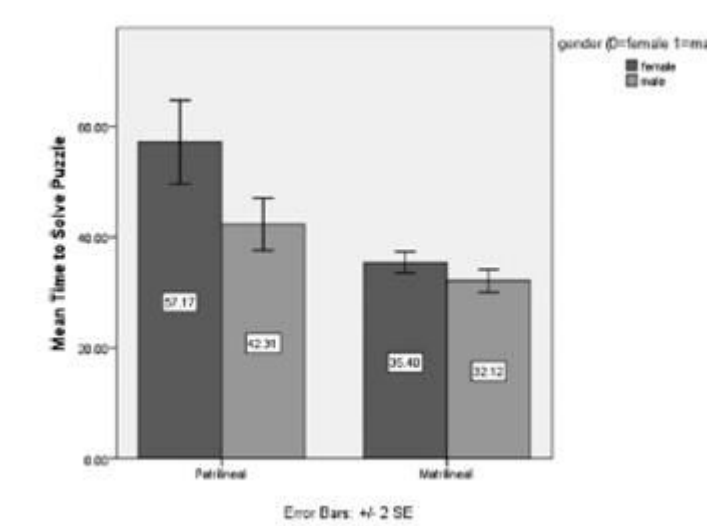


Table 1. Summary statistics for time to solve the puzzle

	Patrilineal	Matrilineal	Total
Female			
Mean	57.2	35.4	42.6
Median	42	20	33
SD	55.8	20.1	37.4
n	218	443	661
Male			
Mean	42.3	32.1	36.2
Median	32.5	27	29
SD	37.3	19.2	28.4
n	250	368	618
Total			
Mean	49.2	33.9	39.5
Median	37	28	30
SD	47.A	19.7	33.5
N	468	811	1,279

Subjects solved a four-piece jigsaw puzzle. The time, in seconds, that it took to complete the puzzle acted as our measure of spatial ability.



Fig. 1. The puzzle used in the experiment. Subjects solved a four-piece jigsaw puzzle. The time that it took to complete the puzzle acted as our measure of spatial ability.

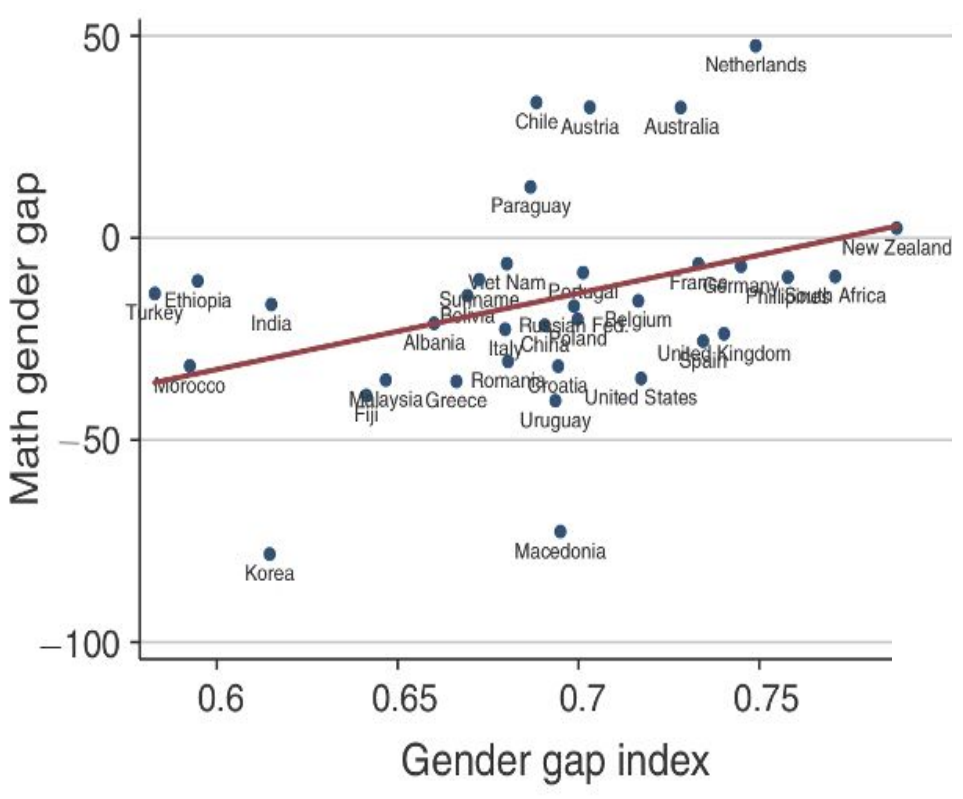
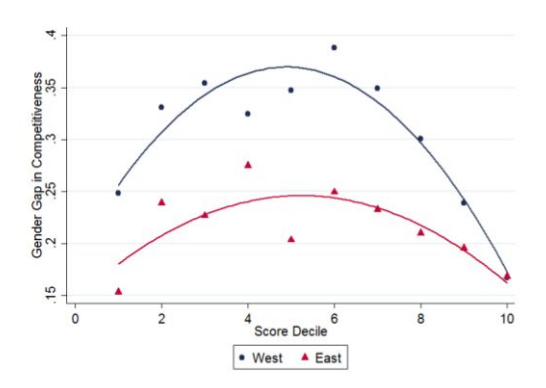
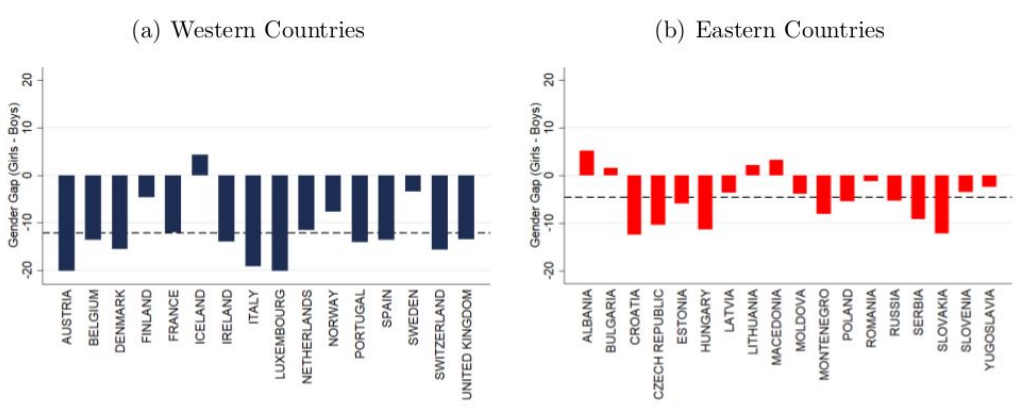


Figure 1: Competitive Attitudes in Math by Deciles - PISA-E 2003 Germany



Notes: The data comes from the German National Evaluation of Pisa. The sample is restricted to individuals who were born in Germany. The red line (triangle) shows the quadratic fit of the indicator of competitive attitudes in mathematics by deciles for East Germany (computed on the basis of PISA global mathematics scores in East or West Germany). The blue line (circle) represents West Germany.

Figure 2: Gender Gap in Mathematics in Western and Eastern European Countries



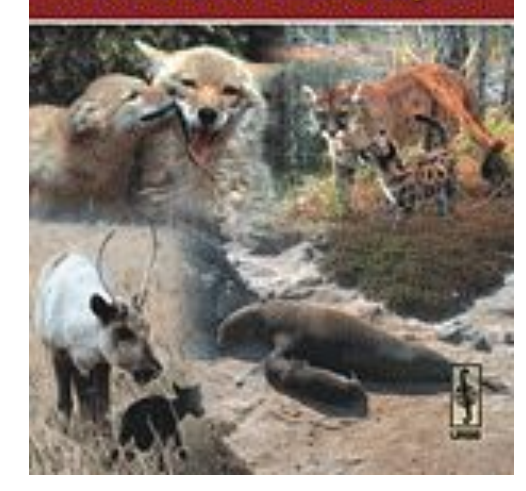
Notes: The data comes from the 2000, 2003, 2006, 2009 and 2012 waves of PISA. The horizontal dashed line represents the average gender gap for each region.





Е. П. Крученкова

## МАТЕРИНСКОЕ ПОВЕДЕНИЕ МЛЕКОПИТАЮЩИХ







«Рамачандран – это Марко Поло нейронауки». Ричард Докинз

Вилейанур Рамачандран

# МОЗГ

Что делает нас людьми



A new vision of motherhood from one of the most brillian social scientists of our day

## MOTHER NATURE



MATERNAL INSTINCTS AND HOW THEY SHAPE THE HUMAN SPECIES

"A wally processed a conti, as disjust as a non-field."

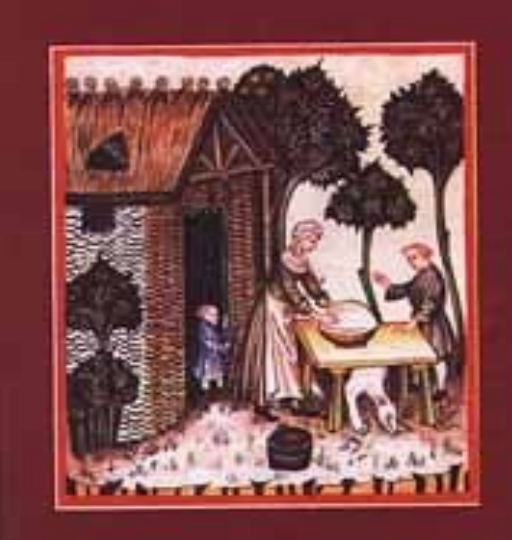
— Environ Or Monorale Treatment

SARAH BLAFFER HRDY

Райнхард Зилер

#### СОЦИАЛЬНАЯ ИСТОРИЯ СЕМЬИ

в Западной и Центральной Европе (конец XVIII-XX вв.)



В.С. Громов

ПРОСТРАНСТВЕННО-ЭТОЛОГИЧЕСКАЯ СТРУКТУРА ПОПУЛЯЦИЙ ГРЫЗУНОВ



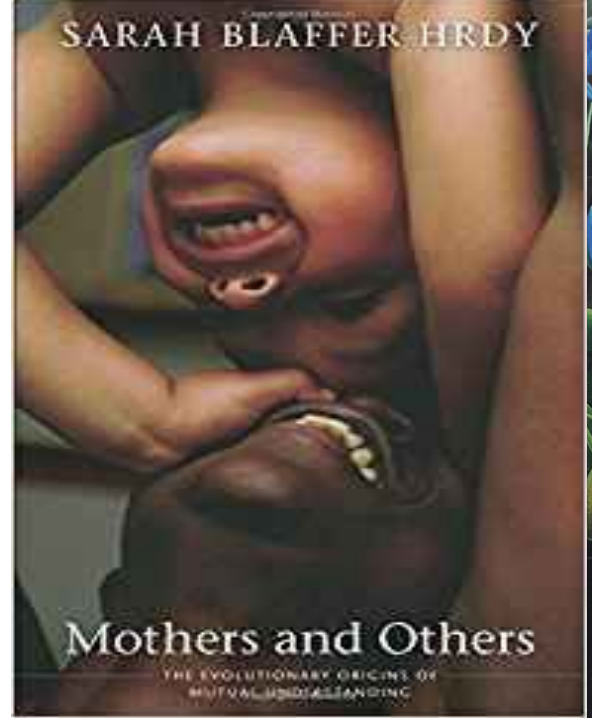
OZON.ru

в.с. Громов

ЗАБОТА О ПОТОМСТВЕ

у грызунов
физиологические, этологические
и эволюционные аспекты



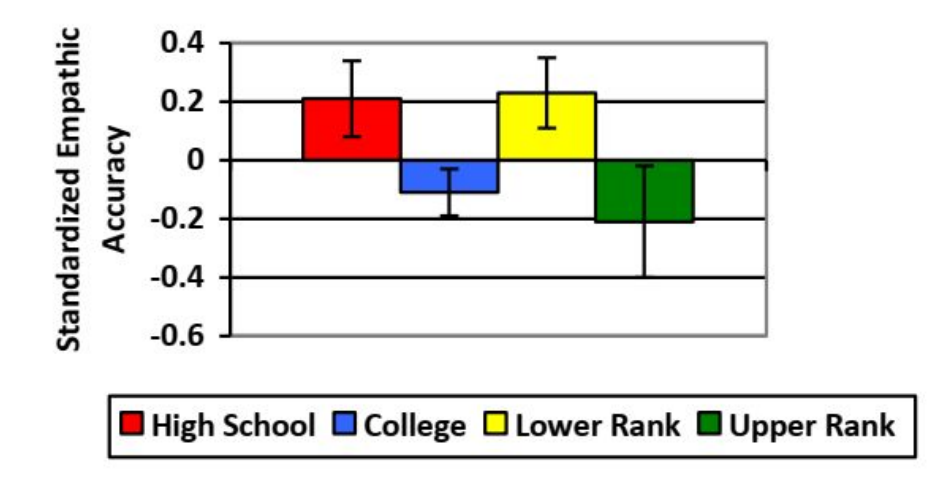




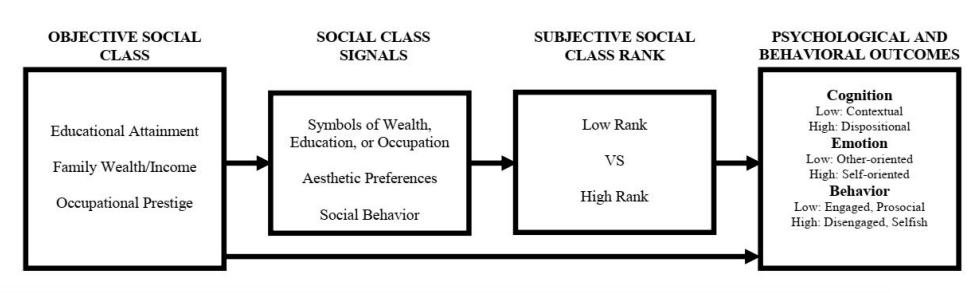
ДОКТОР ФИЛОСОФИИ О ДОКТОР МЕДИЦИНЫ

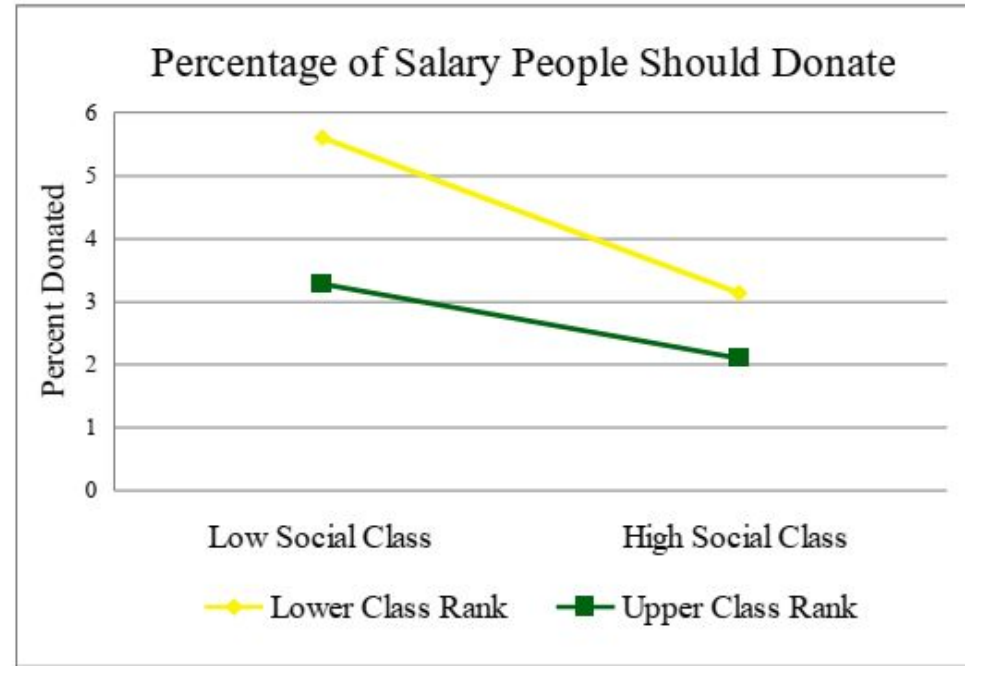


Resources, Rank, and Empathic Accuracy



#### THE SOCIAL CLASS COMPLEX





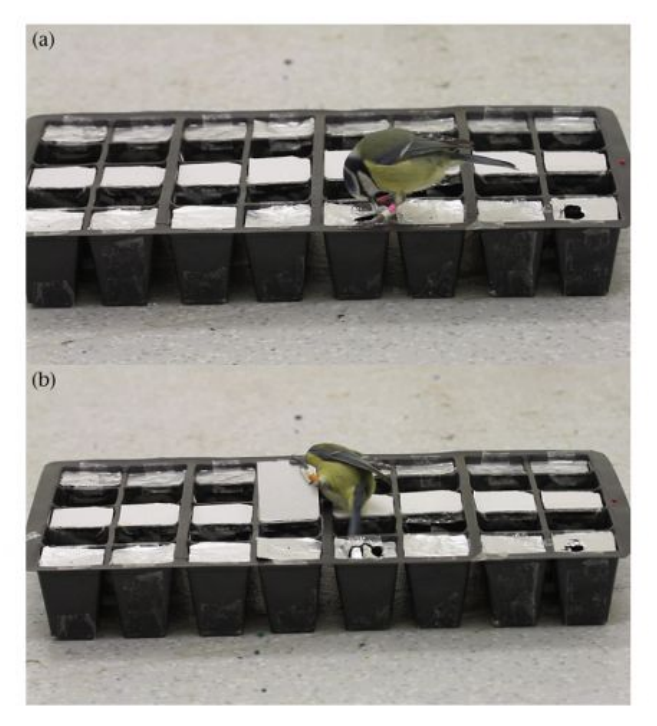


Figure 1. Individuals using alternative solutions to the same novel task to get access to worms inside cells. (a) Piercing and tearing foil caps, (b) flipping up lids. Demonstrators were trained on one of two possible solutions using a gradual shaping procedure.

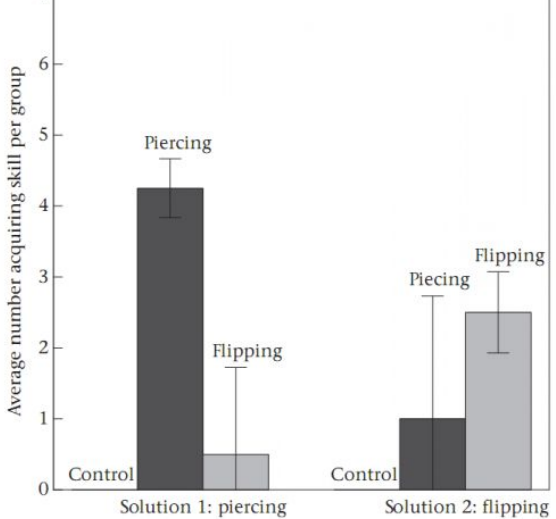


Figure 3. The average number of individuals in each group that used either solution 1 (piercing foil) or solution 2 (flipping lids) to solve the novel foraging task. There were four groups of each of the control with no demonstrator, a demonstrator trained on the foil solution and a demonstrator trained on the lid solution. The first cluster of bars represents groups presented with a demonstrator trained on 'piercing'; the second cluster represents groups presented with a demonstrator trained on 'flipping'. Error bars represent SEs.



с.1. Клювы и вокализации двух контактирующих форм еловиков.

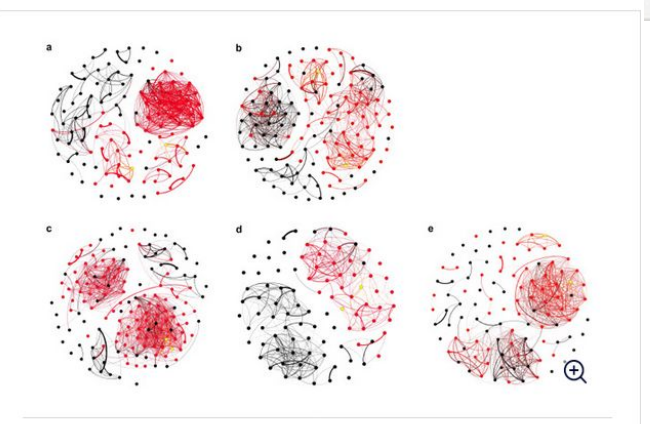


Рис. 3. Социальная структура популяции влияет на динамику распространения полезного навыка. Каждый рисунок представляет собой «социальную сет» одной из пяти подопытных субпопуляций. Желтые точки — обученные «демонстраторы», красные — птицы, овладевшие новым навыком за 20 дней эксперимента, черные — птицы, не овладевшие навыком. Толщина линий, соединяющих точки, отражает силу социальных связей между особями (показаны только самые сильные связи). Видно, что распространение знаний во многом определяется структурой связей между индивидами. Изображение из обсуждаемой статьи в Nature

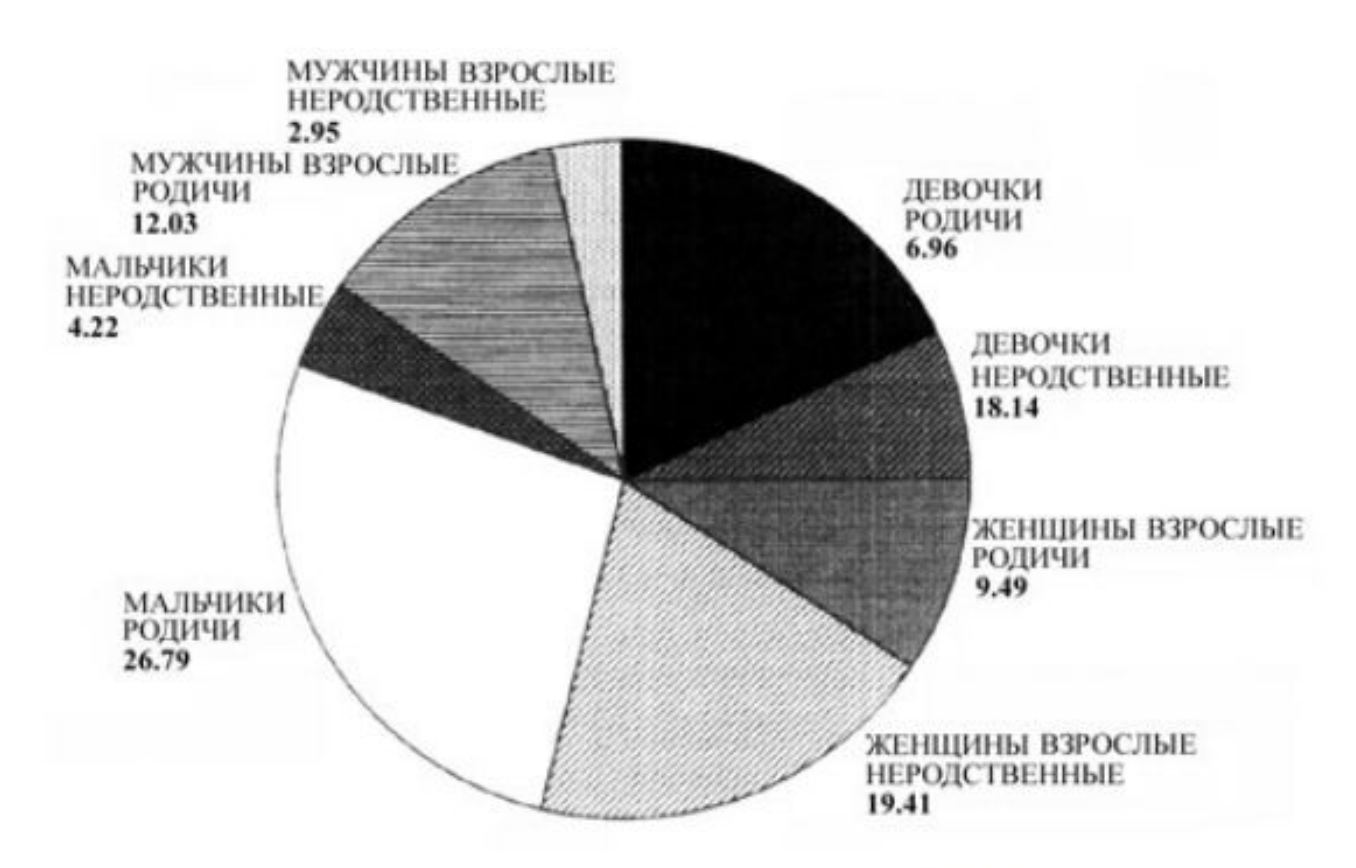


Рис. 7.6. Степень участия разных членов общины в уходе за детьми у пигмеев ака. Из: Ivey 2000.

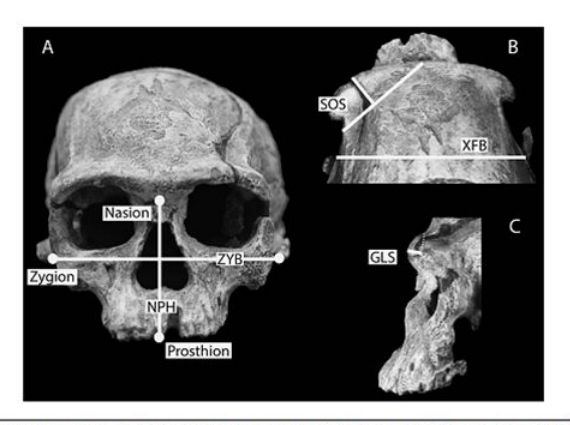


Figure 2. Facial measurements taken from and flustrated on a cast of the 194-00 Kay-pea-oids, MSNMP associated specimen felvel throad 1.4, Upper facial shape was quantified by scaling histynomatic beneath (ZPB maximum headth across the regiments carbos, wherever, found) by face height (NPH) upper facial height from nasion to prosthion). B, Supraorbial projection (SOS: maximum projection of the felt supraorbital and, taken as a withense to a line between the million in the region of globello or above and the frontal borne just anterior to the temporal line in its forward part) was used as one measure of brow ridge size. C, Globellar projection (GIS: maximum projection of the million profile, taken as a subsense to a line between nasion and supragishellar of the point at which the convex profile of the frontal bone changes to join the prominence of the globellar region). Brow ridge projection was quantified by summing SOS and GIS and scaling the result by bifornal breach (XPB: maximum with across the

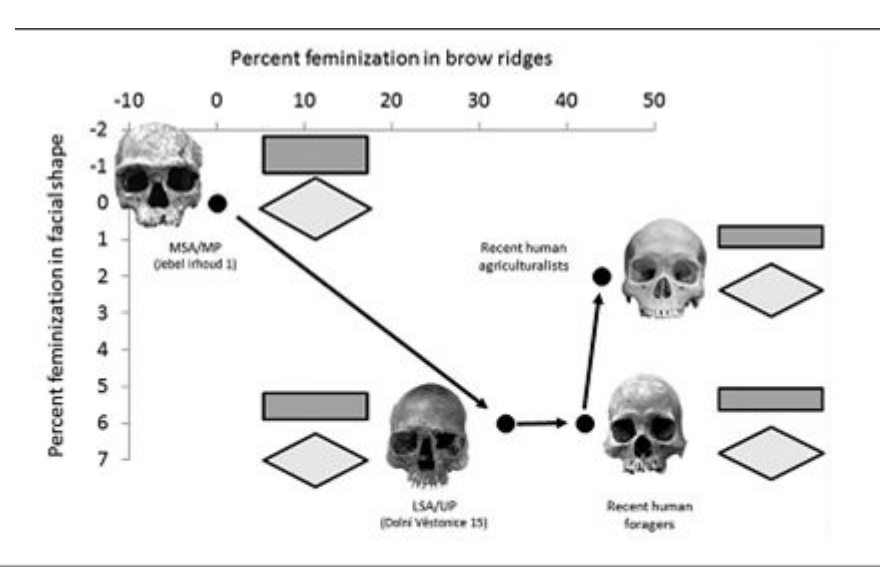


Figure 5. Summary of craniofacial feminization trends in anatomically modern Homo suplets over the past 200,000 years. Feminization increases to the right (brow ridges) and downward (face shape) as a percent reduction from the original MP/MSA condition. The degree of feminization is also represented graphically by the adjacent geometric shapes: the height of the rectangles reflects the proportional difference in absolute brow ridge projection (SOS + GLS) relative to the pooled recent human male sample; the height and width of the diamonds reflect the proportional difference in absolute facial height (NPH) and width (ZYB), respectively, relative to the pooled recent human sample. The arrows reflect presumed increases in population density. Although agriculturalists have masculinized facial shapes relative to LSA/UP and recent human foragers, it is clear that the greatest changes in both brow ridge projection and facial shape occurred between the MSA/MP and LSA/UP samples.

- . Социальное влияние управляет «биологическими» влечениями, как всадник лошадью.
  - 2. Мозг «делает из психологии биологию»
- 3. Символические формы культуры «проявитель», гены, гормоны и пр. биология «закрепитель» изменений в человеческом поведении.

При движении тела, причем (по разным, к сожалению, не очень точным данным) уже после 100—500 мс экспозиции, испытуемые отчетливо видят движущегося человека, уверенно различая мужчин и женщин. Несмотря на предельную редуцированность информации, испытуемые даже способны узнавать при этом себя и своих знакомых причем практически все данные получены на основании видеосъемки (в последнее время, разумеется, также компьютерной симуляции) и после дующего наблюдения взаимного движения всего лишь нескольких, прикрепленных к основным суставам тела маркеров

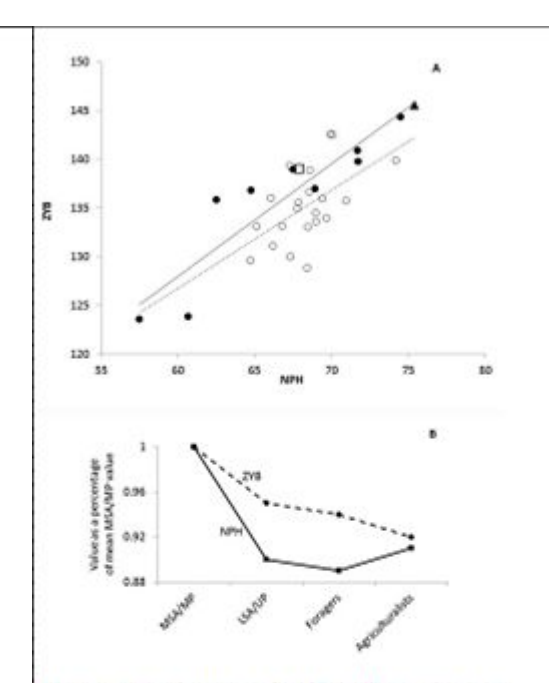
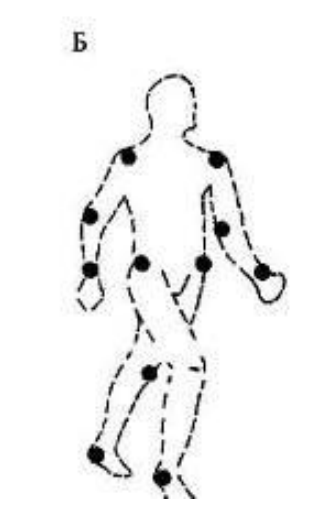
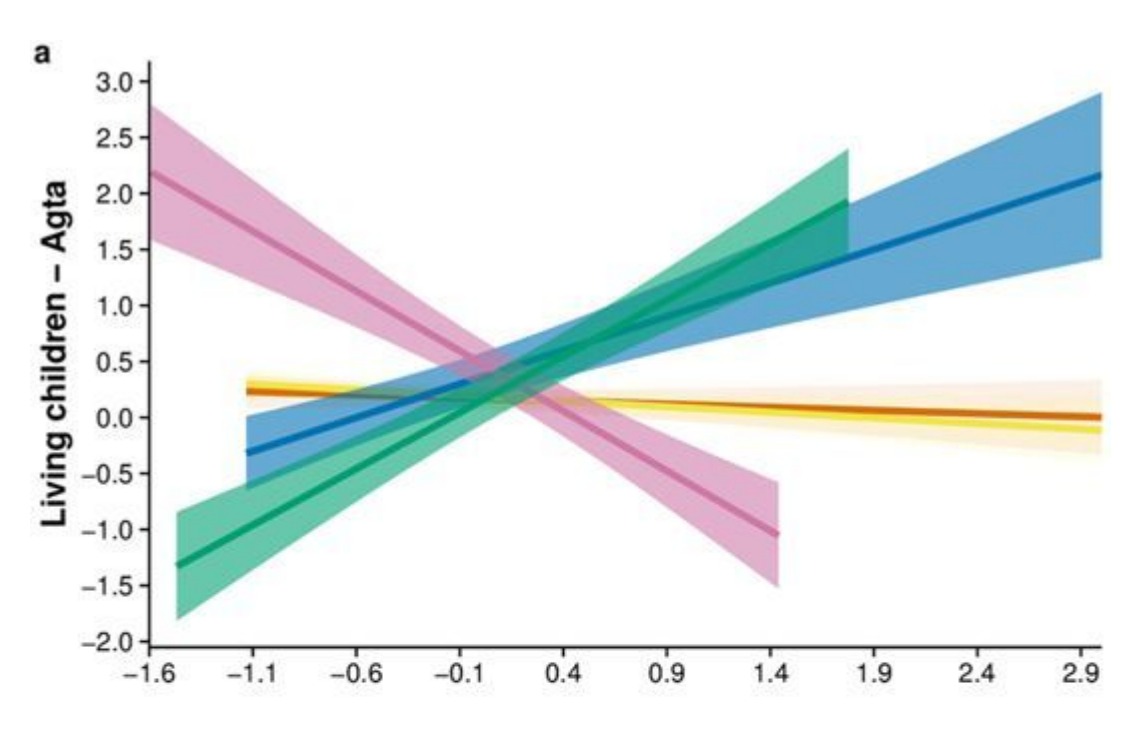
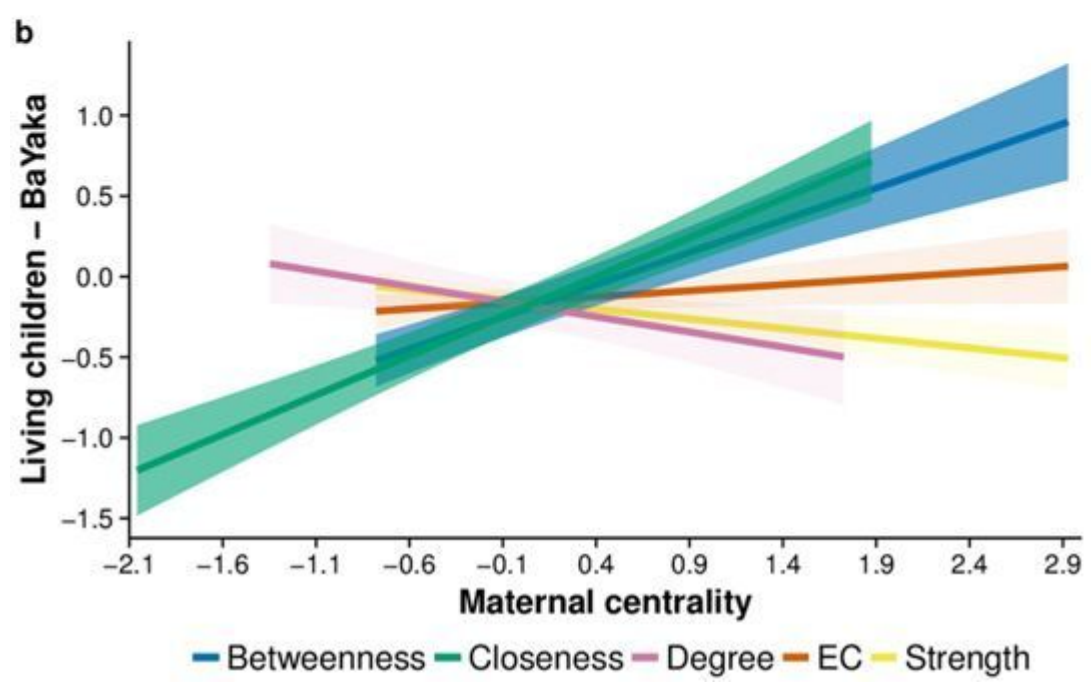


Figure 3. A, Mean bizygomatic breadth (ZYB, in mm) against nasion-prosthion height (NPH, in mm) in fossil and recent modern humans. Mean values for 21 samples of agriculturalists are represented by open circles, while solid circles represent mean values for nine forager groups. The MSA/MP fossils (solid triangle) have the absolutely longest and widest faces, while LSA/ UP fossils (open square) and foragers have shorter and narrower faces. Agriculturalists are similar to foragers and LSA/UP samples in facial length but tend to have narrower faces. Ordinary least squares regression lines are provided for the recent human samples. Foragers (solid line), y = 1.1574x + 58.509,  $r^2 = 0.8263$ ; agriculturalists (dashed line), y = 1.0067x + 66.343,  $r^2 = 0.3029$ . 8, When mean facial length (NPH) and breadth (ZYB) are plotted as percentages of the mean values of the MSA/MP sample, temporal patterns of reduction in both dimensions are apparent, as s the greater magnitude of change in facial length.







Article OPEN Published: 25 April 2017

## Hunter-Gatherer Social Networks and Reproductive Success

Abigail E. Page ™, Nikhil Chaudhary, Sylvain Viguier, Mark Dyble, James Thompson, Daniel Smith, Gul. D. Salali, Ruth Mace & Andrea Bamberg Migliano

Scientific Reports 7, Article number: 1153 (2017) Download Citation ₹

#### Body Mass Dimorphism vs. Femoral Head Dimorphism

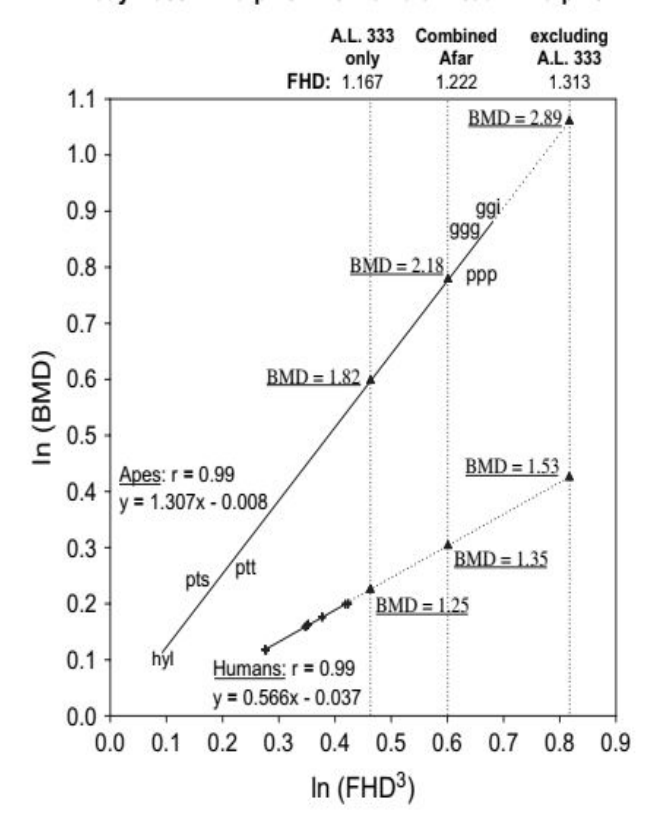
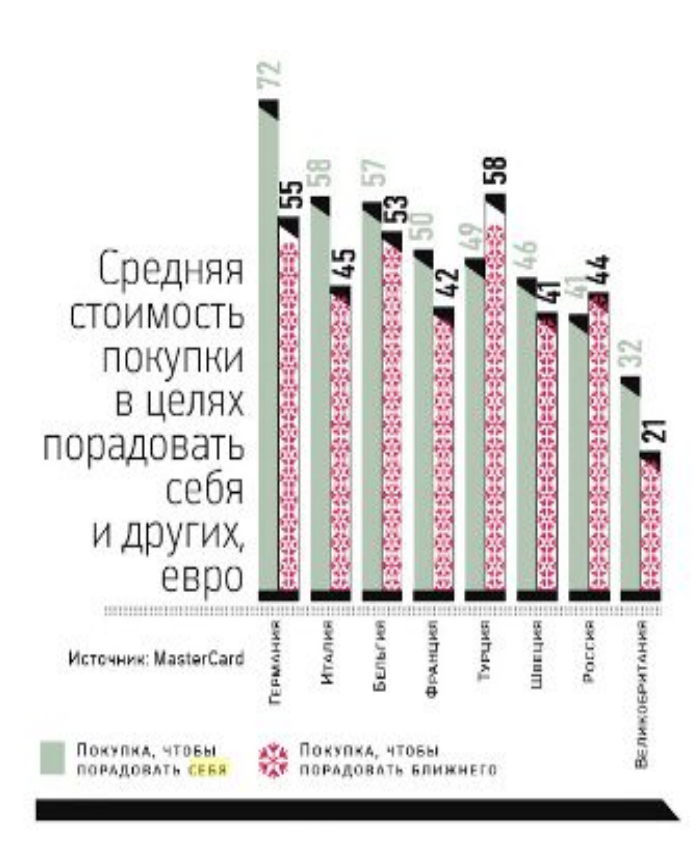
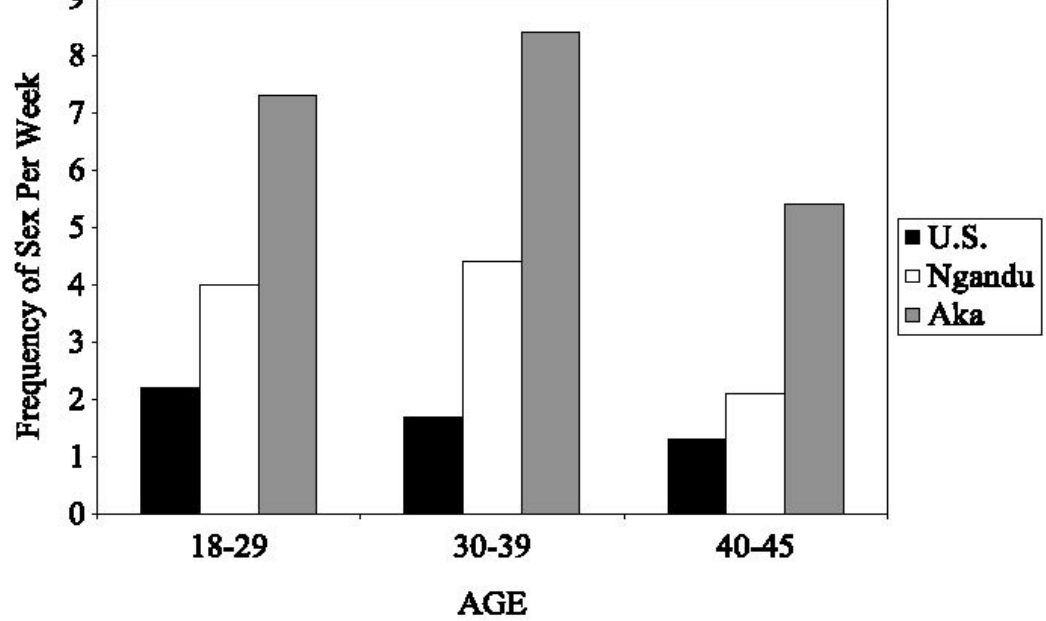


Fig. 3. Least squares regressions of body mass dimorphism (BMD) versus femoral head dimorphism (FHD) for extant apes (6 subspecies) and modern humans (8 populations). Triangles (and vertical lines) indicate BMD predictions for A. afarensis based on three different FHD values (each estimated using the Binomial Dimorphism Index (BDI) method): 1) 1.167 (A.L. 333 sample only), 2) 1.22 (CA sample), and 3) 1.313 (sample excluding A.L. 333). Predicted values of BMD for A. afarensis differ considerably depending on the chosen regression equation and fossil sample. Nonetheless, all predicted BMD values are greater than those reported for modern humans (Ruff, 1994; Smith and Jungers, 1997). FHD values based on CVs (not depicted) are consistently higher than the BDI values and yield even higher estimates of body mass dimorphism. (hyl = Hylobates lar; pts = Pan troglodytes schweinfurthii; ptt = Pan t. troglodytes; ppp = Pongo pygmaeus pygmaeus; ggg = Gorilla gorilla gorilla; ggi = G. g. graueri).



AKA	Number	Mean Age	Age Range
Females	17	33.4	18–75
Males	18	30.0	21–70
Total	35	_	

NGANDU	Number	Mean Age	Age Range
Females	11	27.5	25-70
Males	10	36.5	26–70
Total	21	_	



onour of now nor month by non-in thron oroung

	Do not believe in taboo and has sex with wife (number of responses)	Respects taboo and does not search for other women	Respects taboo, but searches for other women
Aka men	27% (5)	45% (8)	27% (5)
Ngandu men	0%	10% (1)	90% (9)

Таблица 1. %% мыслей, попадающих в каждую категорию

Работа	16%
«Нет мыслей»	14%
Время дня	12%
Домашние хлопоты	12%
Отдых	9%
я	8%
Другие люди	8%
Прошедший разговор	7%
Телевидение и радио	6%
Мысли общего характера	4%
Еда	2%
Мысли о программе исследований	2%

Self and Identity, 00: 000–000, 0000, iFirst article http://www.psypress.com/sai ISSN: 1529-8868 print/1529-8876 online DOI: 10.1080/15298860903513881



#### What Makes Us Feel the Best Also Makes Us Feel the Worst: The Emotional Impact of Independent and Interdependent Experiences

LISA M. JAREMKA

University of California, Santa Barbara, California, USA

SHIRA GABRIEL

SUNY, University at Buffalo, New York, USA

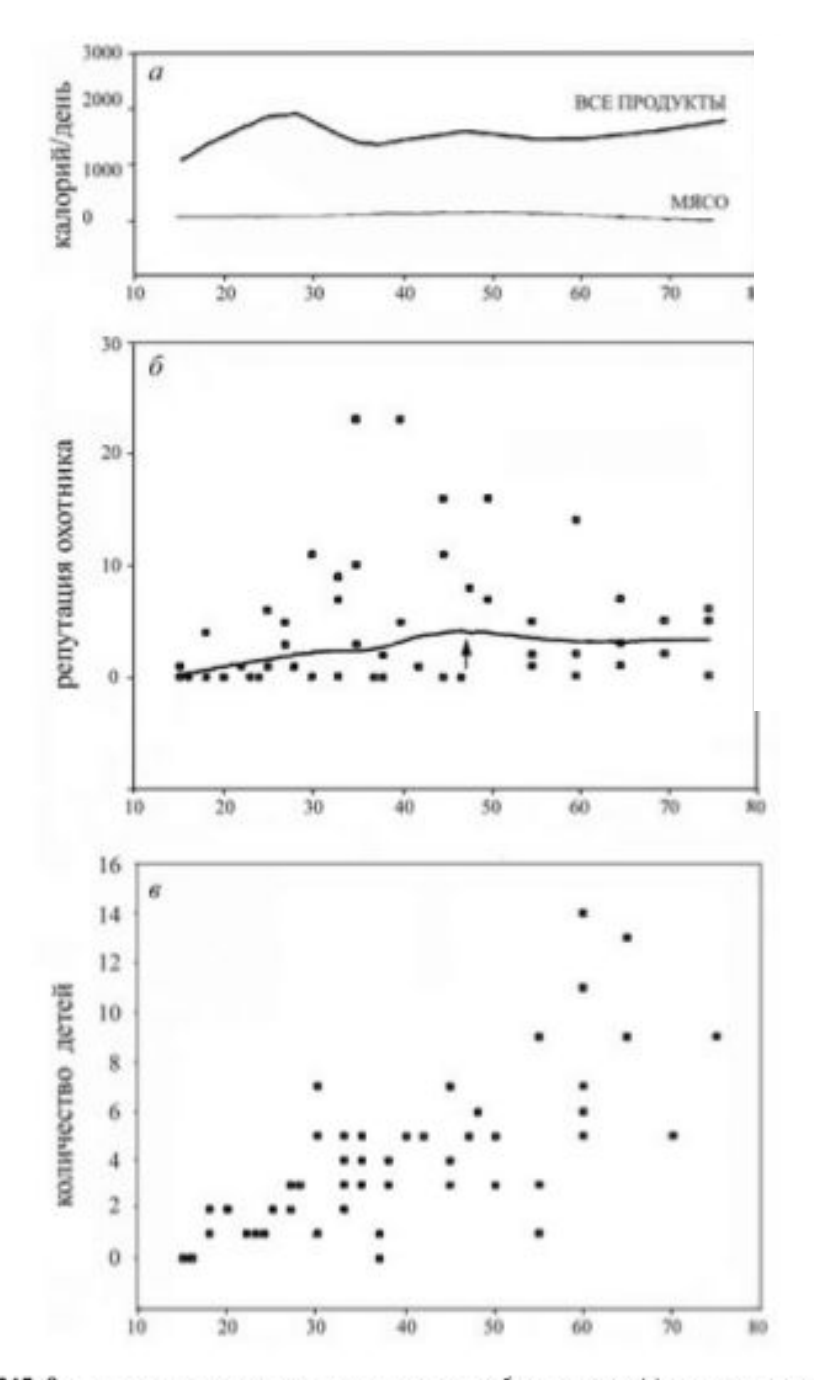
MAURICIO CARVALLO

University of Oklahoma, Norman, Oklahoma, USA

TABLE 1 Percentage of Events Falling into Each Category Within the Independent and Interdependent Categories for Studies 1, 2, and 4

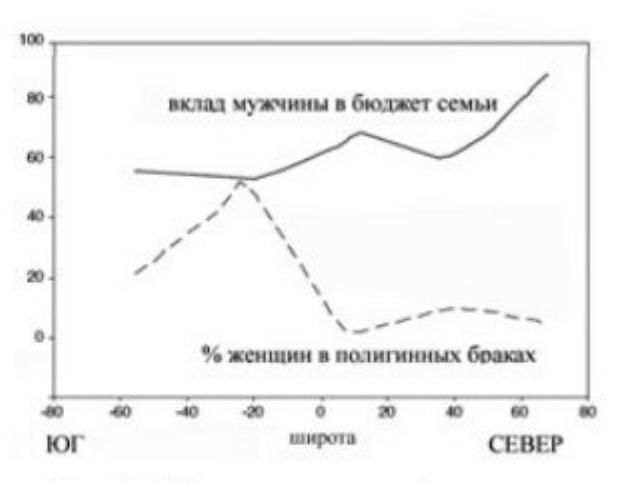
		Study 1 College aged	Study 2 Middle aged	Study 4 College aged
Negative				
Independent	Academic failure	50.0	12.3	43.0
1000 CONTROL OF THE PARTY.	Personal injury or sickness	16.7	12.3	25.6
	Financial problems	0.0	10.5	0.0
	Loss or potential loss of personal property	0.0	8.8	3.5
	Work failure or difficulties	0.0	43.9	2.3
	Mental illness or drug abuse	16.7	0.0	10.5
	Misc. other independent events	16.7	12.3	15.1
Interdependent	Death or illness of close other	39.6	14.8	15.7
1000 W Base #1400 W W	Argument or fight with close other	22.6	50.0	11.2
	Ending of or significant negative change in relationship*	28.3	15.9	69.7
	Seeing a close other experience personal problems	0.0	11.4	0.0
	Misc. other relationship- oriented events	9.4	7.9	3.4
Positive				
Independent	Work achievement	0.0	45.9	3.3
- 13	Academic achievement	60.0	8.1	41.8
	Financial and personal independence/success	8.0	08.1	5.5
	Acquisition of personal property	0.0	13.5	15.4
	Achievement outside of work and academic context	24.0	13.5	19.8
	Misc, other independent events	8.0	10.8	14.3
Interdependent	Increased connection or positive within an existing relationship	52.4	69.7	45.1
	Seeing a close other succeed	2.4	12.8	0.0
	Pregnancy or birth of a baby	9.5	11.9	0.0
	Beginning a new relationship (e.g., first date with romantic partner)	26.2	0.0	45.1
	Misc. other relationship oriented events	9.5	5.5	9.9

Note: Each number represents the percentage of events in either the independent or interdependent category that fell into the particular subcategory. For example, the numbers listed next to academic failure are the percentage of the negative independent events that fell into this category, not the percentage of all of the events in that specific sub-category. \*This category was only used when the change in relationship status was described as resulting from a particular argument or fight



полигиния > 20% (9) моногамия (3)

Рис. 7.16. Форма семьи в 30 обществах охотников-собирателей (в скобках — число обществ с данным типом отношений). Из: Marlowe 2003б.



**Рис. 7.17.** Отсутствие очевидной связи между степенью вклада мужчин в обеспечении семьи пищей и частотой полигинных браков разных регионах мира. Из: Marlowe 2003*б*.

Рис. 7.15. Зависимость от возраста вклада мужчин хадза в бюджет семьи (а), репутации их как охотников (б) и репродуктивного услежа (а). Из: Marlowe 2000 с изменениями.

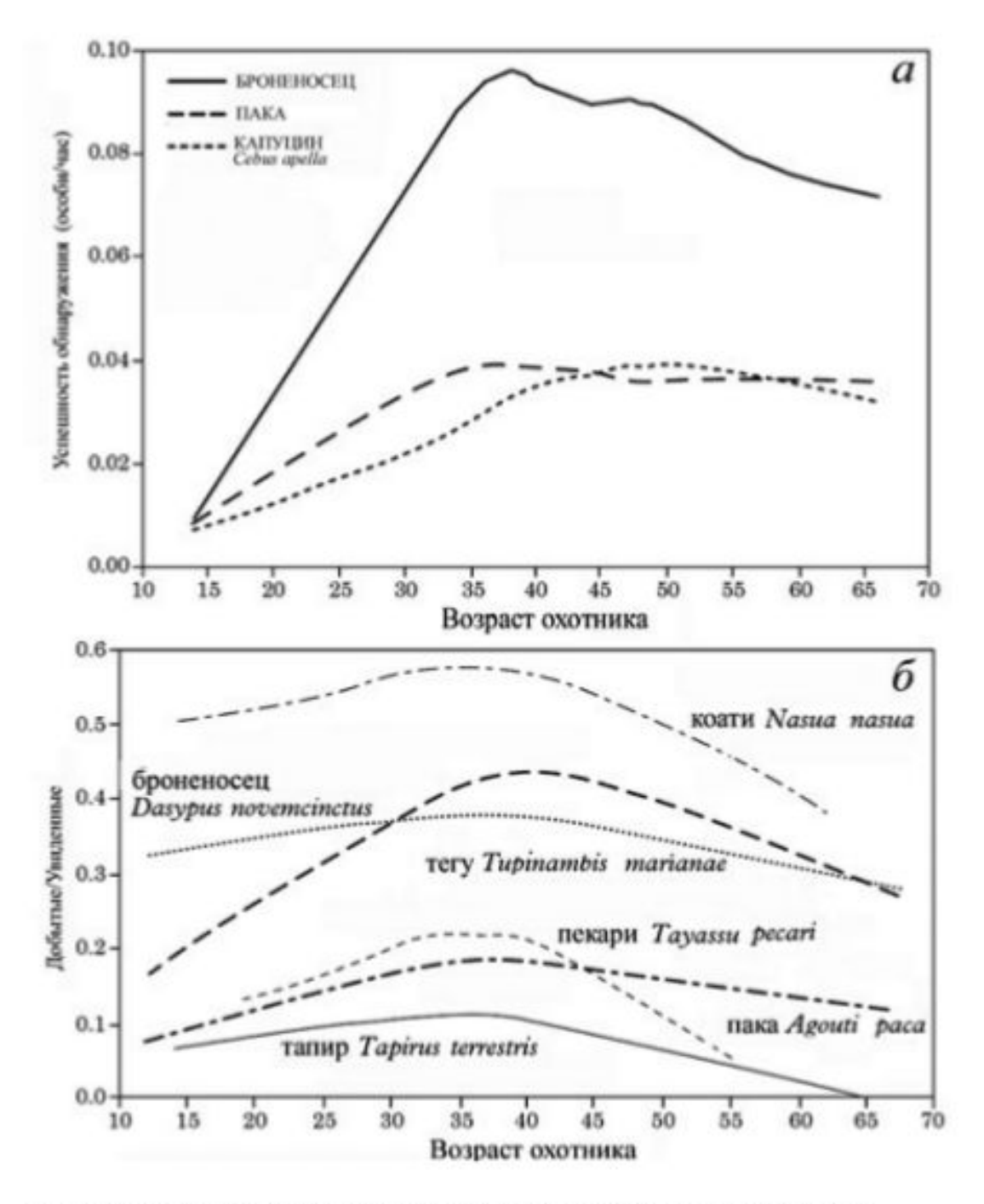
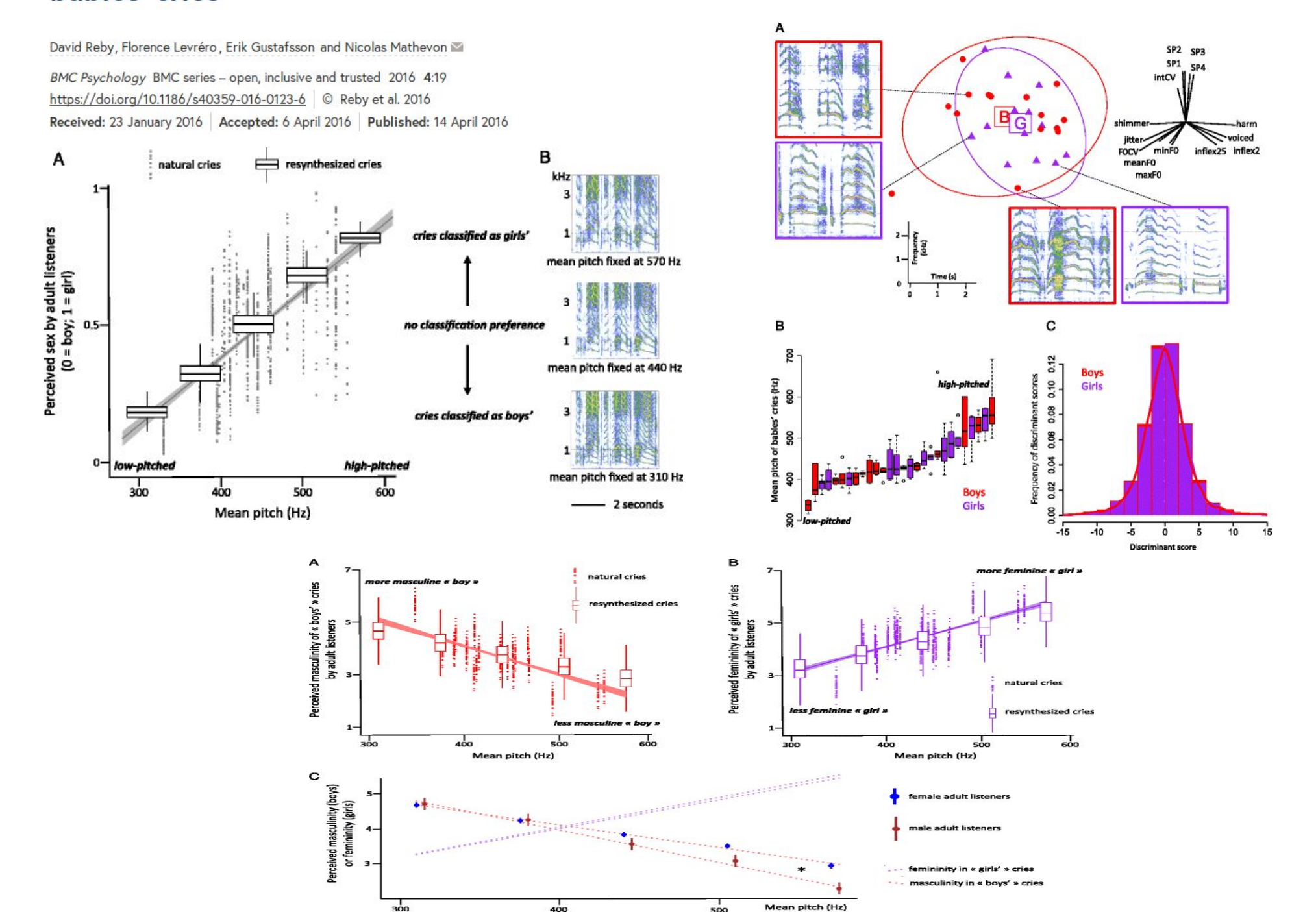


Рис. 7.14. Успех на охоте в зависимости от возраста у индейцев аче. Из: Walker et al. 2002.

# Sex stereotypes influence adults' perception of babies' cries





Молодому полагалось демонстрировать перед обществом свою власть над женой. Например, зрители требовали от молодушки поцеловать мужа, а он старался отвернуться от неё, поднять повыше голову. Радостные зрители кричали: «Поломайся, поломайся, покуражься, пусть пониже поклонится!»

В Костромской губернии во время съездок молодоженов молодые мужья, выйдя из трактира в подпитии, «отбивали карахтер», то есть попросту били своих жен. По словам очевидца, «многие из пожилых теперь уже женщин еще и теперь вспоминают, как они гуляли в городе на Масленице и были трепаны своими мужьями». Такое поведение молодого мужа вызывало у зрителей не возмущение, а, наоборот, одобрение.

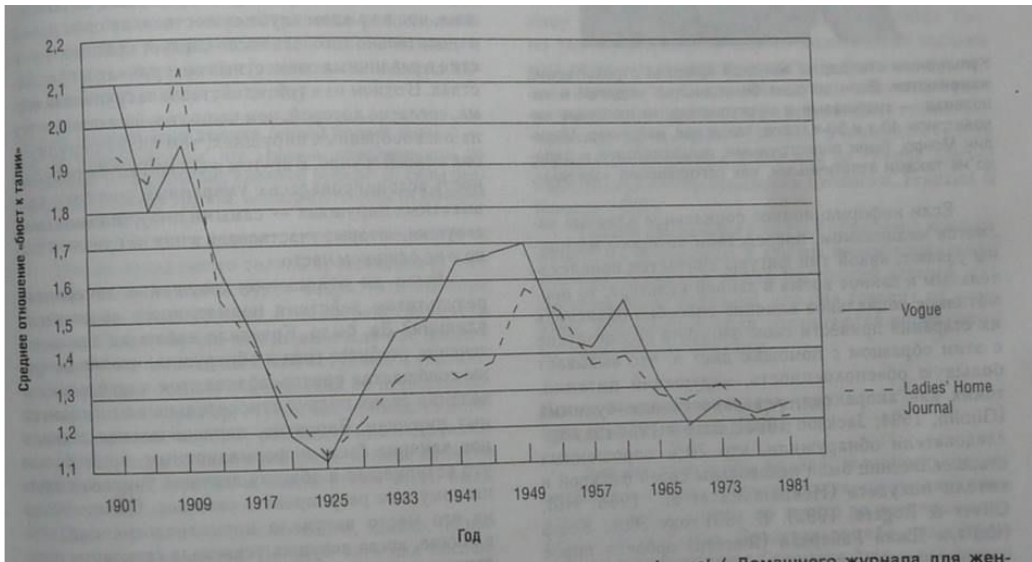
Молодоженам полагалось подчиняться «обчеству». За неповиновение они бывали наказаны, иногда довольно жестоко. Если молодушка «выказывала гордость», то ее могли, например, при всех столкнуть в воду или посадить голым задом на муравейник.

Обряд представления молодой женскому сообществу, помимо постановки угощения, предполагал «перебаски», то есть её соперничество с приглашёнными замужними женщинами в нарядах (баской — красивый). Другой составляющей было испытание послушности молодой — бабы требовали от неё принести воды попить, обнести «с уважением» присутствующих и пр.

Обряд представления молодой женскому сообществу, помимо постановки угощения, предполагал «перебаски», то есть её соперничество с приглашёнными замужними женщинами в нарядах (баской — красивый). Другой составляющей было испытание послушности молодой — бабы требовали от неё принести воды попить, обнести «с уважением» присутствующих и пр.

Таким образом, анализ личных характеристик, влияющих на предпочтение при брачном выборе в традиционном обществе, немедленно обнаруживает, что кроме возможности подготовить нужный набор вещей, это определённые характеристики нрава. Предпочтительны девушки достаточно бойкие, живые и активные, смирных и смурных отвергали, с другой — достаточно почтительные к старшим и вообще традиции (включая традиции поведения в своём кругу).

Обратите внимание, что эти черты характера имеют отношение не столько к брачному выбору и связям партнёров в получающемся микросоциуме — семье, сколько к «вписанности» индивида в «большое общество». «Лучшие» — те, кто в девичьей стайке/группе парней лидеры-заводилы, а со старшими почтительны и традицию уважают, поддерживают своей активностью, а не нарушают. Иными словами, отбор есть, но социальный, а не брачный, и не движущий, а стабилизирующий. Видимо, по той же причине и у современных западных женщин привлекательность обратно связана со стрессированностью, с содержанием кортизола в крови (что естественным образом определяется плохим соответствием социальной роли или активным нежеланием ей соответствовать — всё равно).



Рис, 8.5. Среднее отношение «бюст к талии» моделей *Ladies' Home Journal* («Домашнего журнала для женщин») и журнала *Vogue* («*Bor*») и в разные периоды XX века. Формы, по общему мнению, характеризующие привлекательную женщину, несколько раз за последнее столетие претерпевали значительные изменения: от полных женшин в начале века, к худым, как щелка, в 20-е годы, затем к более полным и «пышным» фигурам 40-х и 50-х годов, щин в начале века, к худым, как щелка, в 20-е годы, затем к более полным и «пышным» фигурка могорая остается им и по а затем, в 60-е годы, стандартом красоты опять стала исключительно тоненькая фигурка, которая остается им и по сей день. (Адаптировано из Silverstein, Perdue, Peterson & Kelly, 1986.)

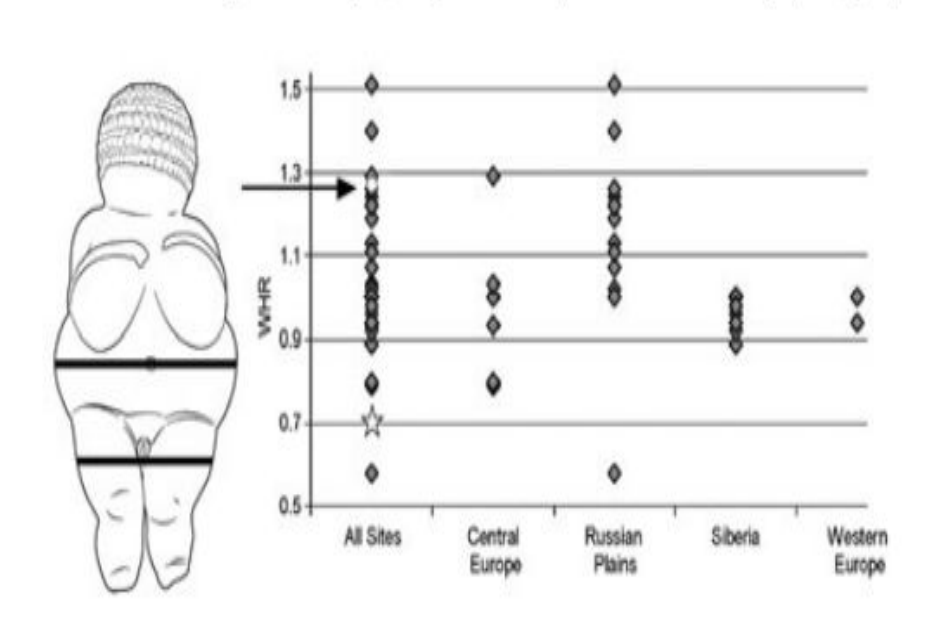


Рис. 3.21. Скульптурные изображения женщин в верхнем палеолите. Из: Tripp, Schmidt 2013.







Learn the secret of T.V.'s fantastic No-Pill, No-Exercise, ONE-DAY reducing formula! Est your fill! Go to sleep! Wake up! — and you have lost upto 5 Pounds. Amazing? Sure! But guaranteed to work or YOUR MONEY



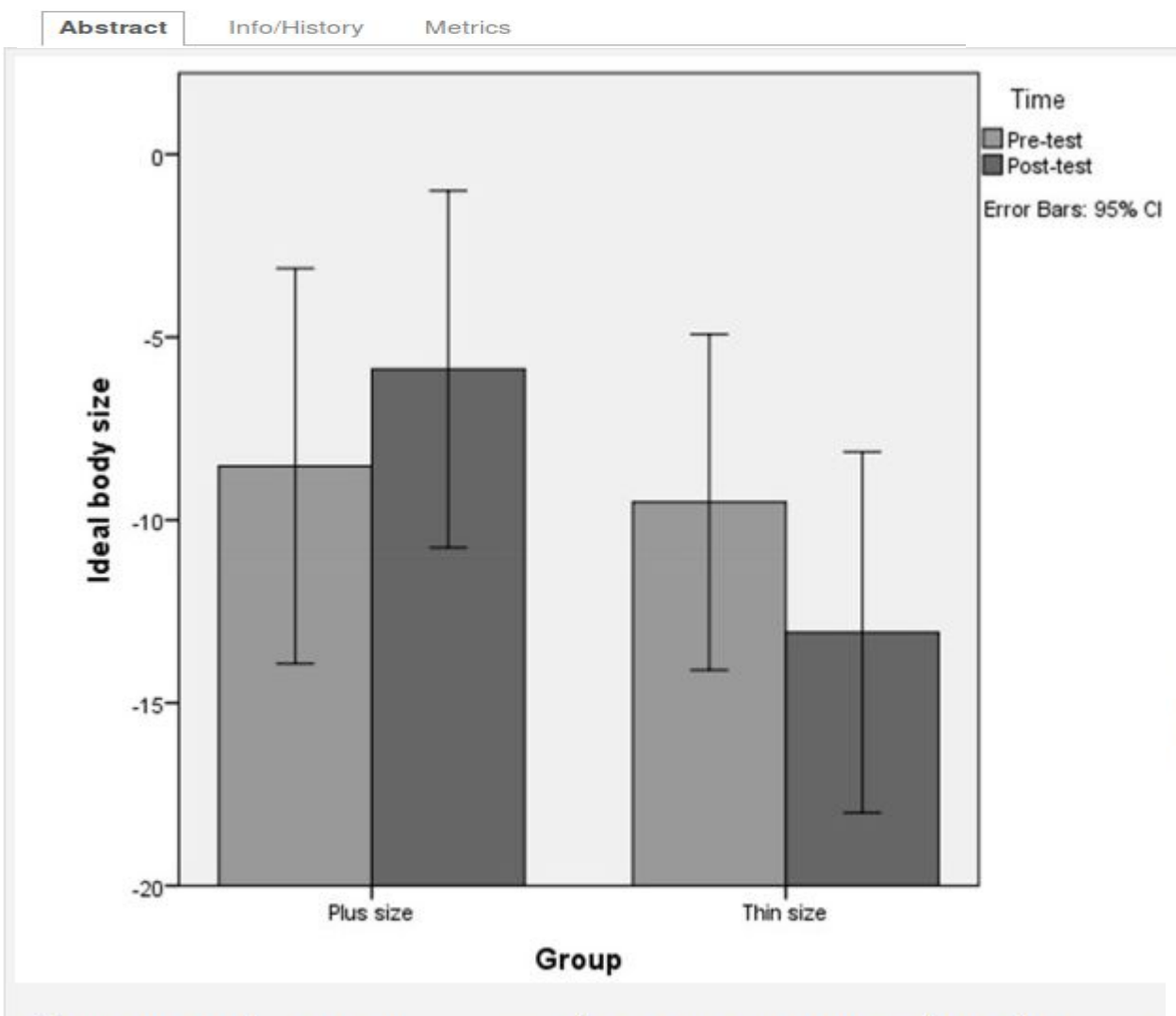




#### The effect of the thin body ideal in a media-naive population

Jean-Luc Jucker, Tracey Thornborrow, Lynda Boothroyd, Martin Tovee doi: https://doi.org/10.1101/176107

This article is a preprint and has not been peer-reviewed [what does this mean?].



По оси у — идеальный размер тела, по оси х — группы (слева те, кто смотрели на плюс-сайз моделей, справа — на худых). Светлым цветом показан тест до сравнения фотографий, темным — после.

Јеап-Luc Jucker et al / BiorXiv

Figure 1. Sample starter bodies (minimum and maximum size)









Figure 2. Sample thin size and plus size models

Thin size:





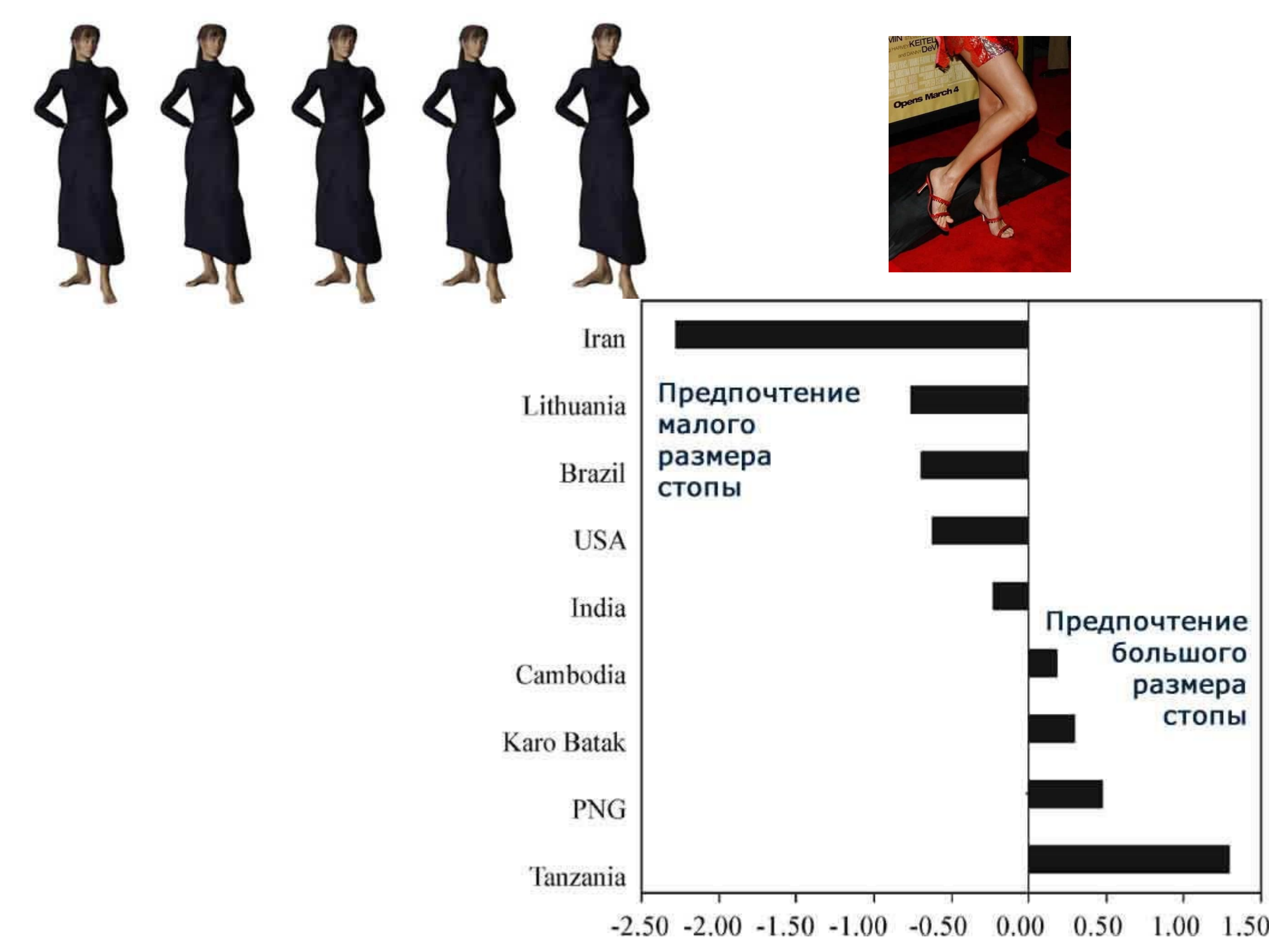


Plus size:











I. M. Scott, A. P. Clark, S. C. Josephson, A. H. Boyette, I. C. Cuthill, R. L. Fried, M. A. Gibson, B. S. Hewlett, M. Jamieson, W. Jankowiak, P. L. Honey, Z. Huang, M. A. Liebert, B. G. Purzycki, J. H. Shaver, J. J. Snodgrass, R. Sosis, L. S. Sugiyama, V. Swami, D. W. Yu, Y. Zhao, I. S. Penton-Voak. Human preferences for sexually dimorphic faces may be evolutionarily novel. Proceedings of the National Academy of Sciences, 2014; 111 (40): 14388 DOI:10.1073/pnas.1409643111

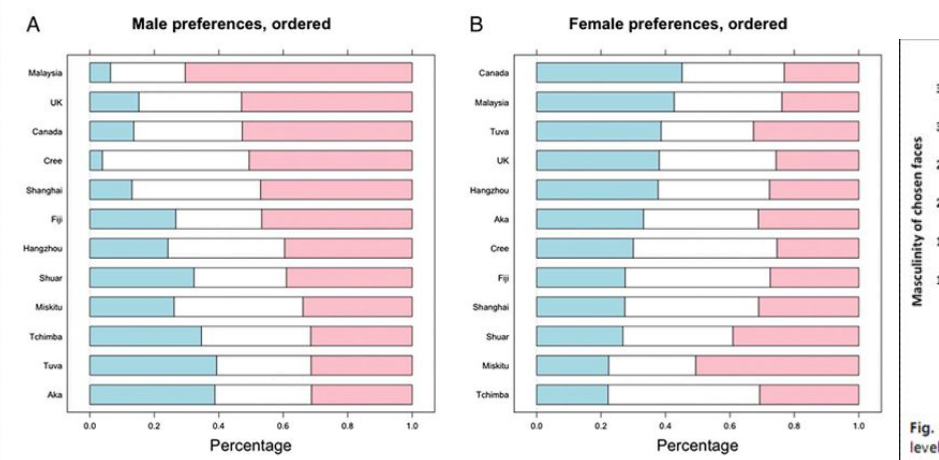


Fig. 2. (A) Preferences for sex dimorphism in female faces, by group. Blue sections indicate the proportion of a group that chose masculinized faces as most attractive, white sections indicate the proportion that chose neutral faces, and pink sections indicate the proportion of that chose feminized faces. (B) Preferences for sex dimorphism in male faces, by group. Blue sections indicate proportion of a group that chose masculinized faces as most attractive, white sections indicate the proportion that chose feminized faces.

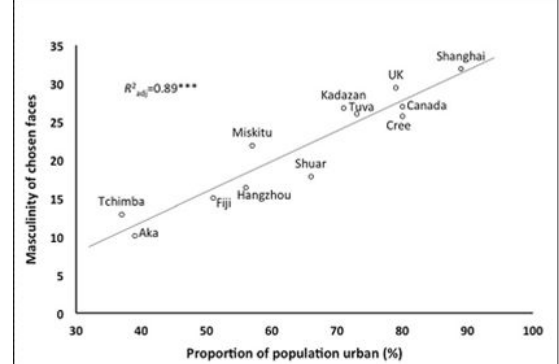


Fig. 5. Masculinity of male faces perceived as most aggressive-looking, by level of urbanization. Average levels of masculinity in the male faces chosen as most aggressive-looking by group, plotted against level of urbanization, are shown. Participants in urban environments were more likely to choose masculine faces when asked to choose the most aggressive-looking face.

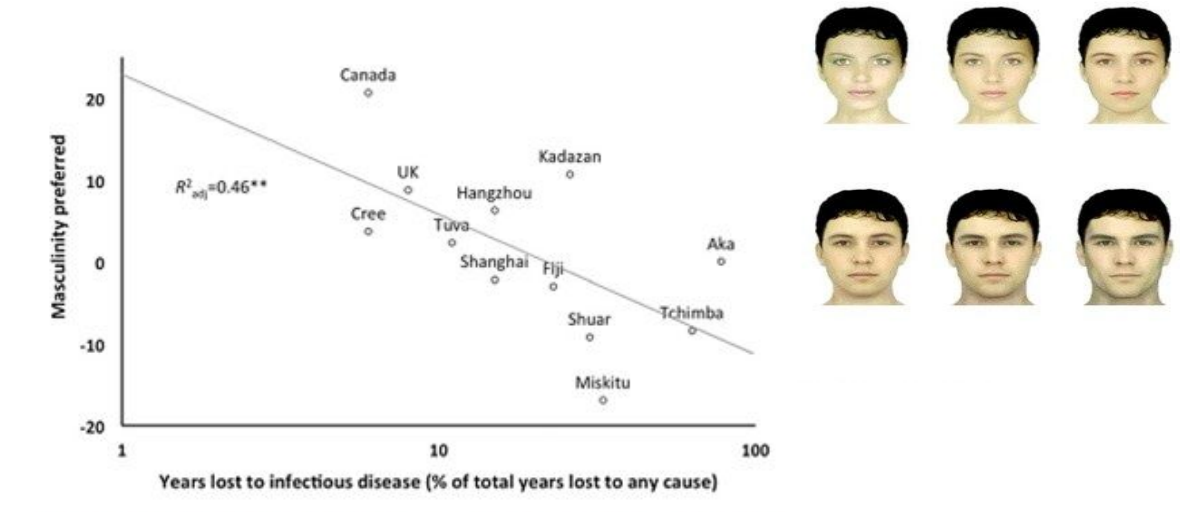


Fig. 3. Preferences for sex dimorphism in male faces by level of disease burden. Female preferences for masculinity in male faces by group, expressed as an average [participants' choices for most attractive male faces were recorded as +60 (feminine), 0 (average), or -60 (masculine)], plotted against years lost to infectious disease in local populations (log-transformed). Preferences for masculinity decrease as the disease burden increases.

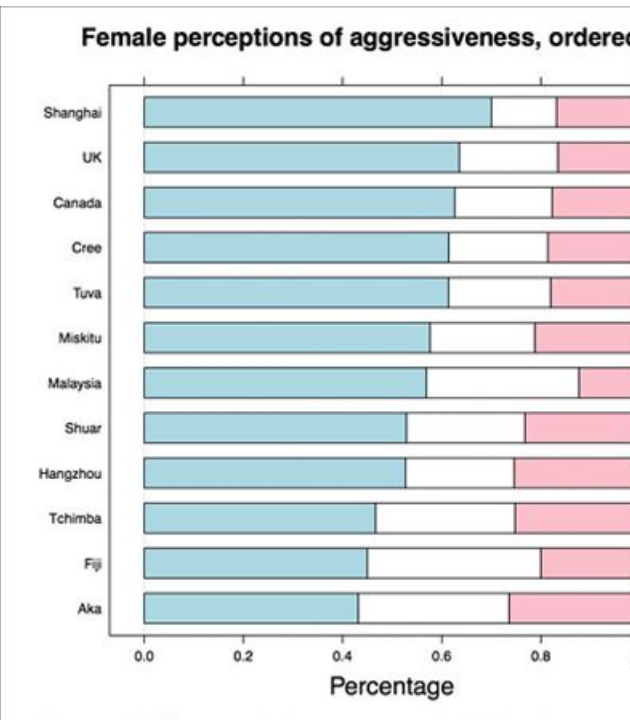
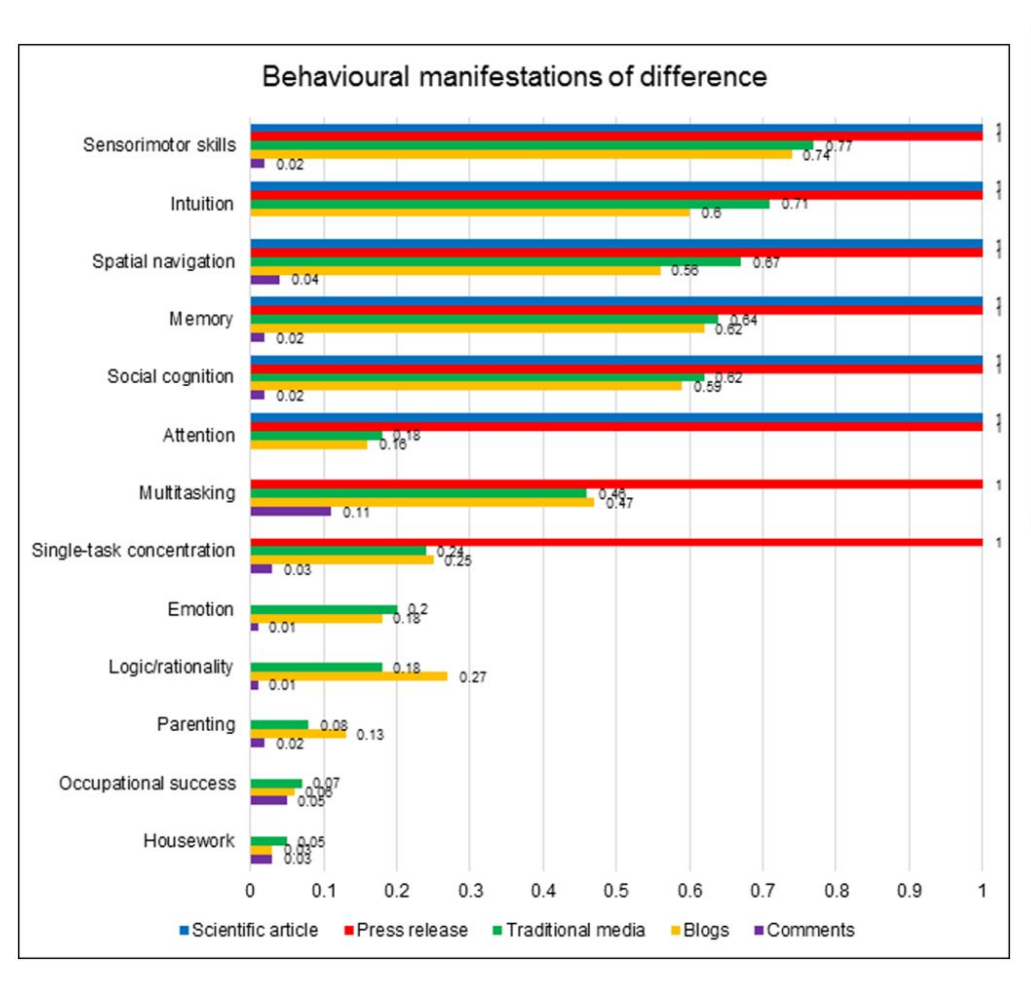
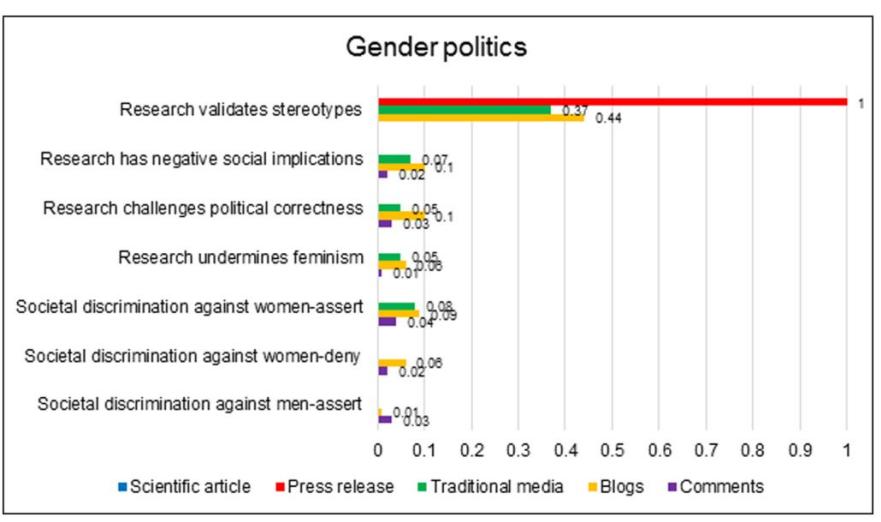
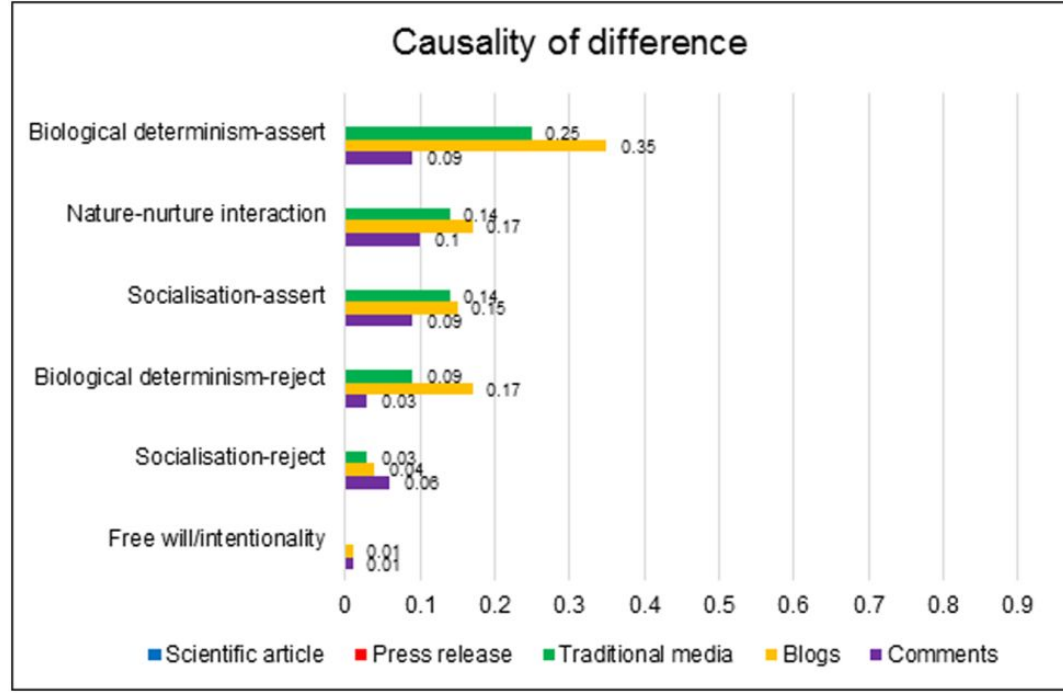


Fig. 4. Male faces perceived as most aggressive-looking, by group, sections indicate the proportion of a group that chose masculinized famost aggressive, white sections indicate the proportion that chose refaces, and pink sections indicate the proportion that chose feminized







## THE SCIENCE NEWS CYCLE

Start Here



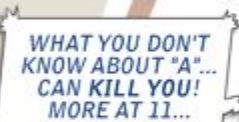
### Your Research

Conclusion: A is correlated with B (ρ=0.56), given C, assuming D and under E conditions.



is translated by ...

...eventually making it to...







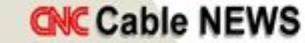
**U**NIVERSITY PR OFFICE (YES, YOU HAVE ONE)

FOR IMMEDIATE RELEASE: SCIENTISTS FIND POTENTIAL LINK BETWEEN A AND B (UNDER CERTAIN CONDITIONS).

...which is then picked up by ...











NEWS WIRE ORGANIZATIONS

A CAUSES B, SAY SCIENTISTS.

We saw it on a Blog!

A causes B all the time What will this mean for Obama? BREAKING NEWS BREAKING NEWS BREA

...then noticed by ...







Scientists out to kill us again. POSTED BY RANDOM DUDE

Comments (377)

OMGI i kneeew ittll WTH???????

WWW. PHDCOMICS. COM





Таблица 13.1

#### Некоторые стереотипы студентов Принстонского университета за несколько десятилетий

ГРУППА	1933	1951	1969
Американцы	трудолюбивые умные материалистичные честолюбивые прогрессивные	материалистичные умные трудолюбивые любители удовольствий индивидуалистичные	материалистичные честолюбивые любители удовольствий трудолюбивые вежливые
Японцы	умные	склонные к подражанию	трудолюбивые
	трудолюбивые	хитрые	честолюбивые
	прогрессивные	крайне националистичные	хорошие работники
	проницательные	умные	националистичные
	хитрые	коварные	прогрессивные
Евреи	проницательные	проницательные	честолюбивые
	корыстные	умные	материалистичные
	трудолюбивые	трудолюбивые	умные
	жадные	корыстные	трудолюбивые
	умные	честолюбивые	хитрые
Herpы	суеверные	суеверные	музыкальные
	ленивые	музыкальные	беспечные
	беспечные	ленивые	ленивые
	грубые	грубые	любители удовольствий
	музыкальные	любители удовольствий	хвастливые

Источник: адаптировано из Gilbert, 1951; Karlins, Coffman & Walters, 1969; Katz & Braly, 1933 Обратите внимание на общую стабильность и изменения в этих стереотипах.

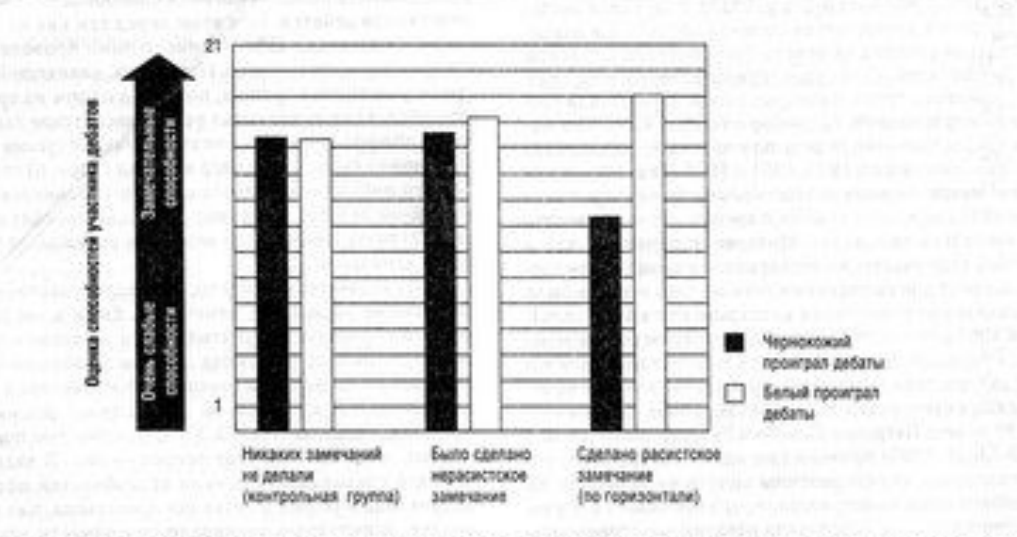


Рис. 13.3. Активизация отереотипных представлений. Когда было срапано унизительное замечание в адрес чернокожего участника дебетов, это замечание активизировало скрытый стереотип наблюдателей, которые посчитали, что выступление чернокожего участника дебетов было хуже. (Адаптировано из Greenberg & Pyszczynski, 1985.)

434 🗆 Глава 13. Предрассудки: источники и методы борьбы с ними

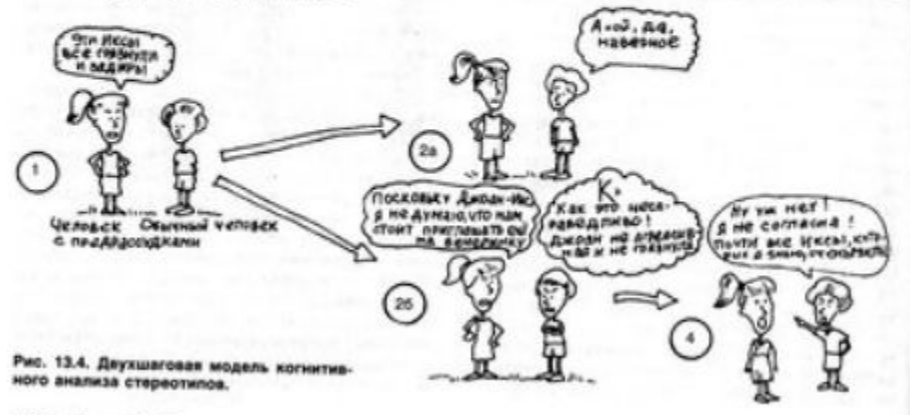


### ДВУХШАГОВАЯ МОДЕЛЬ КОГНИТИВНОГО АНАЛИЗА СТЕРЕОТИПОВ

Автоматическая обработка информации происходит гогда, когда встречается соответствующий стикул — человек видит представителя стереотилной группы или ему поладается стереотилное мнение, — таким образом стереотилы группы становатога доступными в памяти. Автоматическая обработка информации происходит независимо от вашего осознания. Не вы сами вызываете эти мысли; они просто «возникают»… спровоцированные присутствием стимула.

K

Контролируемая обработка происходит осознанно... вы сами решаете, что вам не стоит придвать значение или обращать внимяние на стереотипную информацию, которая была привнесена в ваше сознание изане.

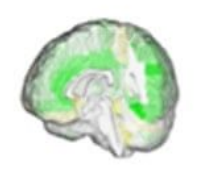


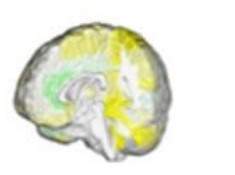
436 🗇 Глава 13. Предрассудки: источники и методы борьбы с ними

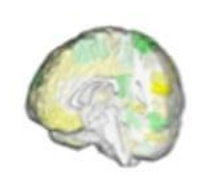
## **Female brains**

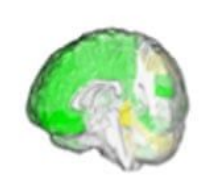
## Male brains











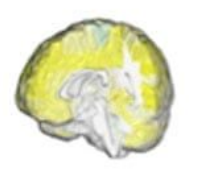






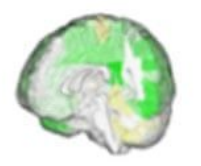






















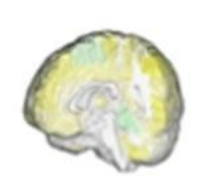














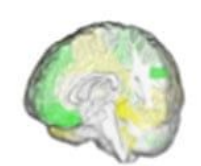














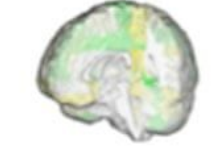








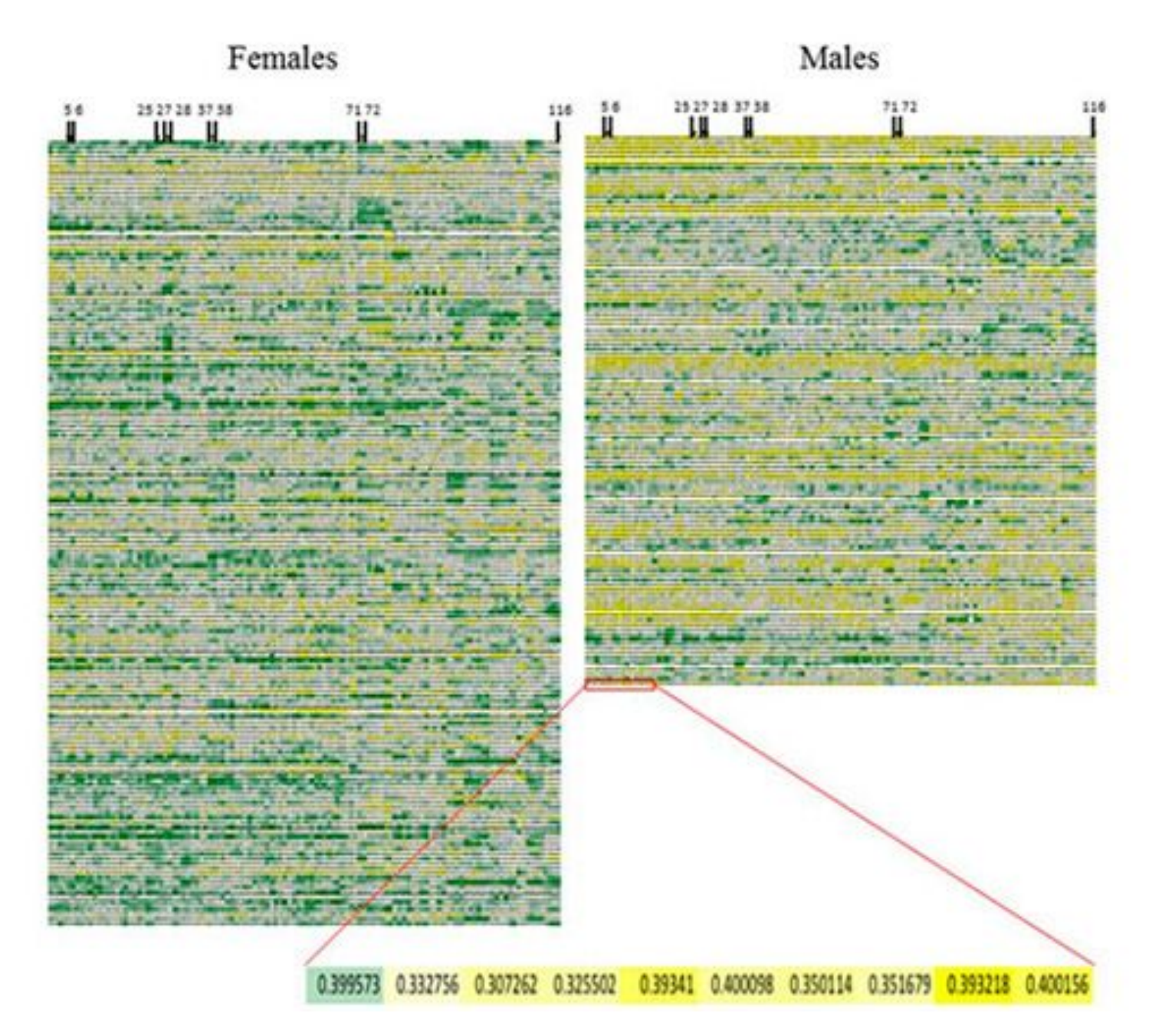












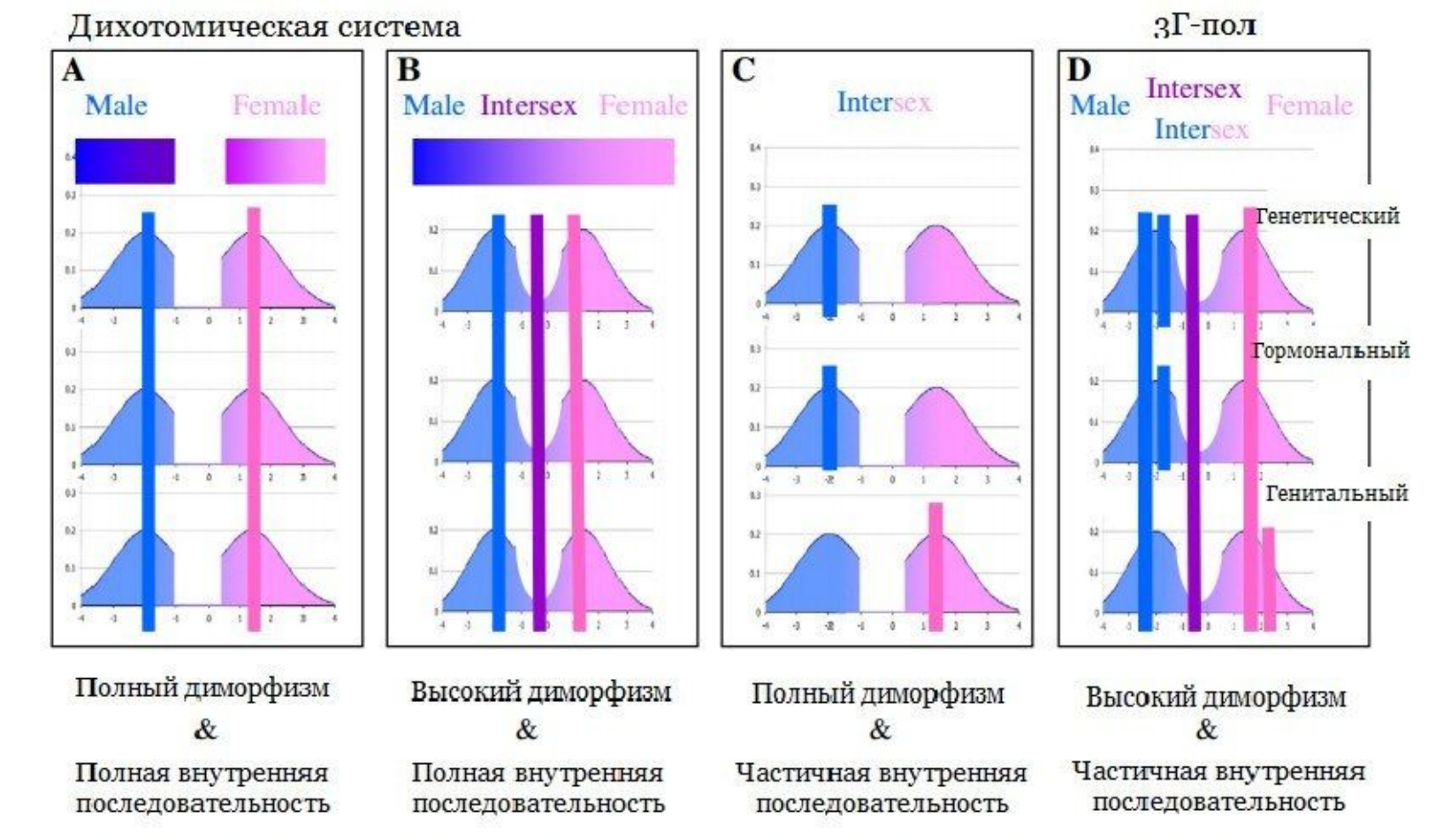


Рисунок 1. Различные комбинации полного/высокого диморфизма и полной/частичной внутренней последовательности на уровне 3Г-пола.

- **А.** Система с полным диморфизмом (т.е. наложения между формами "мужского" и "женского" нет) на всех уровнях и полной последовательностью между уровнями (т.е. они имеют один и тот же тип на всех уровнях). На рис. представлены синей и розовой вертикальными линиями, причем каждая линия проходит на всех трех уровнях через одну и ту же форму. Такая система строго дихотомична: все субъекты будут либо "мужского пола", либо "женского".
- В. Система с высоким диморфизмом (т.е. присутствует некоторое наложение) и полной последовательностью между уровнями. В такой системе возможен "мужской пол", "женский пол" и "интерсекс", т.е. пол, имеющий среднюю форму на всех уровнях (показан фиолетовой линией). В этой системе возможна градация от мужского к женскому, как представлено на горизонтальной полосе сверху. С. Система с полным диморфизмом на каждом уровне и с частичной последовательностью между ними. В этой системе также возможны "мужской пол", "женский пол" и "интерсекс", последний характеризуется равнением на "мужскую" форму на одних уровнях и на "женскую" на других (на рис. обозначен двумя синими и одной розовой короткими линиями).
- **D.** Система с высоким диморфизмом и частичной последовательностью на различных уровнях. В такой системе есть "мужской пол", "женский пол" и два типа "интерсекс". Это система 3Г-пола. \*графики не основаны на реальных измерениях и используются только в целях наглядности.

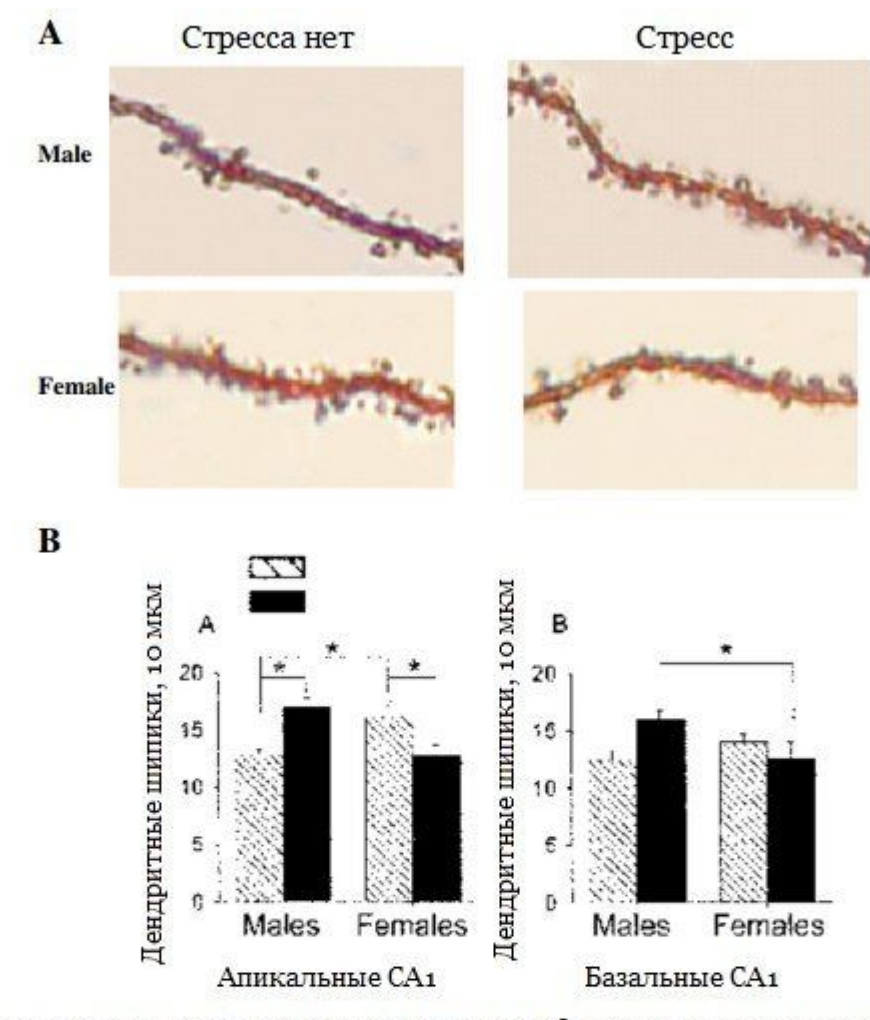


Рисунок 2. Пример взаимодействия пола и среды в формировании структуры свойств мозга.

А. Окрашивание Гольджи для апикальных дендритов поля гиппокампа СА1 мужских и женских особей крыс, подвергшихся/не подвергшихся 15-минутному стрессу за 24 часа до того, как их мозг был изъят. (Фото получены от проф. Tracey J. Shors и относятся к исследованию на рис. 3 [31]).

**В.** Значение и стандартное отклонение средней плотности апикальных и базальных дендритных шипиков пирамидальных нейронов в поле гиппокампа CA1 у мужских и женских особей крыс, подвергшихся/не подвергшихся 15-минутному стрессу за 24 часа до того, как их мозг был изъят. Звездочками помечены значительные различия (взято с согласия из рис.4 [31]).

[31] Shors TJ, Chua C, Falduto J: Sex differences and opposite effects of stress on dendritic spine density in the male versus female hippocampus. J Neurosci 2001, 21:6292-6297